

פרויקט מס' 600:

מערכת שתி מצלמות לצלום
פומבי וסטראוסקופי
של מטאורים, כוכבים ו עצמים נוספים

המנחה: ד"ר נח ברוש, מרצה וחוקר בפקולטה למדעים מדויקים
ומנהל מצפה הכוכבים ע"ש ויין
טל: 03-6407414, email: noah@wise.tau.ac.il

הסטודנטית: חוה זילקה ת"ז 039300041

טלפון: 050-7555025, email: havazilk@post.tau.ac.il

תודה מיוחדת למנהל שלי בפרויקט ד"ר נח ברוש,
כמו כן ברצוני להודות למנהל הטכני של מצפה הכוכבים מר עוזרא משאל
ולביהת המלאכה של בית הספר לפיסיקה.

תוכן עניינים-

הקדמה.....	1
-רקע תיאורתי כללי.....	
מטרת הפרויקט.....	2-4
פרויקט CONCAM.....	5
פרויקט CONCAM ישראל.....	6
פרויקט דומה קודם CONCAM הוואי.....	7-9
-הרכיבים העיקריים במערכת (הסבר תיאורתי)-	
galai-h CCD.....	10-15
עדשת עין הדג.....	16-18
-אפיון ה CCD -	
הקדמה על אפיון ה CCD.....	19-22
הגדירות.....	23-25
המערכת שנבנתה לצורך אפיון ה CCD.....	26
שלבי פעולה.....	27-29
עיבוד נתונים ותוצאות.....	29-40
• רעש קרייה.....	31-32
• עקום הענות.....	32-35
• ליניאריות כתלות בזמן.....	36-37
• זרם חושך.....	38-39
• ליניאריות כתלות בעוצמת האלה.....	39-40
-הנדסת מערכות -	
מאפיינים חשובים של הרכיבים בהם השתמש.....	41-43
• galai CCD.....	41
• עדשת עין הדג.....	42
תכנון המאזרן.....	43-44
סיקום ומסקנות.....	45
ביבליוגרפיה.....	46-47
נספחים	
מה הוא מטאוריד, מטאור ומטאורית.....	49-50
דף נתונים.....	

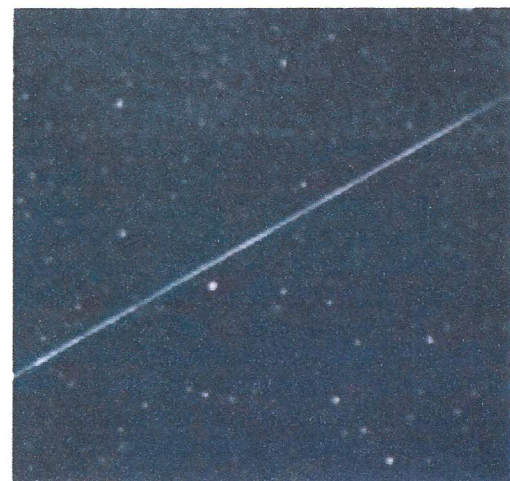
תקציר-

בפרויקט זה ל科幻י חלק בבנייה מערכת 4 CONCAM - מערכת שתי מצלמות Whole-Sky מבוססת CCD, לצלום פנורמי וסטריאוסקופי של מטאורים בנוסף לתמונה שמיים רגילה. המערכת עתידה לשמש את מצפה וויז, מצפה הכוכבים של אוניברסיטת ת"א במצפה רמון.

קדמה-

מתוך תמונה רגילה של מטאור, ניתן להסיק מידע מועט יחסית. המטאור, בשל מהירותו הגבוהה יחסית בזמן החשיפה, מופיע בתמונה כקו מרוח, וכמעט שלא ניתן לדעת מהי מהירותו התנועתו, מסלולו, מיקומו במרחב, השפעת האטמוספירה אליו וכו'. על מנת לאפשר קבלת מידע נוסף, יש לשכפל את מערכת הצלום הרגילה.

בתמונה מימין, צילום "רגיל" של מטאור. בשל מהירותו הגבוהה
הוא התקבל כקו מרוח.



פרלקסיה-

בעזרת השימוש בשתי מצלמות הממוקמות רחוק מספיק זו מזו ומצולמות במקביל את אותם האובייקטים, מתאפשרת אנליזה בתלת ממד של האובייקטים המצלומים. בעזרת שיטת הפרלקסיה- הצלבת המידע משתי תונות של אותו מטאור (או אובייקט נع אחר) שצולמו מכיוונים שונים מתאפשר גילוי מיקומו במרחב, גילוי מיקום תחילת עירתו באטמוספירה, וסוף העירה, גילוי האורך האבסולוטי של מסלול המטאור בשמי, ולעתים אף אינדיказיה לגבי המיקום בו שרירת המטאור (מטאורית) נחתה על פני כדור הארץ. ניתוח אנליזה זו בהמשך.

שימוש בקוץן אור-

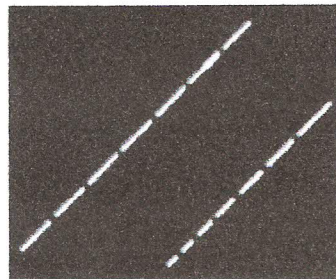
מערכת קיצוץ אופטית היא מערכת המאפשרת ומנעת לסייעין מעבר אוור אל המצלמה. אם משתמשים במערכת קיצוץ אוור הפעלת מהירות גבוהה מספיק, המטאור במקום להתקבל כמו מרווח, יתקבל כמו מקווקו, כל מקטע מכיל את המידע מהmetaor באותו אינטראול זמן בו הצמצם לא מוכסה. לקוץן אוור אין השפעה על האובייקטים הקבועים בתמונה (מלבד זמן חשיפה מצטבר קטן יותר), ולכן ניתן לקבל תמונות שם רגילה (של כוכבים ו עצמים נוספים) + תמונה מקווקות של מטאורים. כך למשל בתמונה הבאה (יש לשים לב שהצלמה בה התמונה צולמה היא סטטית ביחס לכדה"א, ועם חשיפה ארוכה ובשל תנוצה הכוכבים ביחס לצלמה הם התקבלו מרוחים)-



ע"י ניתוח התמונה שנלקחה ממצלמת עם קווץן אוור, ניתן יהיה לדעת מה גודל מהירות הזוויתית המטאור ומה הכוון של המהירות בכל אחד מהמקטעים, ולהסיק מה היא תואצת המטאור בשל החלץ מהאטמוספרה (למעשה תאורה), ומה השפעת הגרביטציה של כדה"א על המטאור. כך למשל אחת מהמסקנות המדועות שהתקבלו בעקבות ניתוח צילומים שצולמו ע"י מצלמות עם קווצתי אוור, היא שכ- 90% מהmetaoredים הם בעלי מסלול תנוצה "שביטי", קרי מאורך ומכוונים אקראים, ו- 10% בלבד בעלי מסלול תנוצה, אשר בדומה לאסטרואיד, במסלול תנוצה קבוע (או כמעט קבוע) במערכת השמש (ראה מקור [5] בביבליוגרפיה) מסקנה חשובה זו (הרמזות לגבי metaoredים וטבעם), כמו מסקנות חשובות נוספות יתאפשרו רק בעקבות מערכות עם קווצתי אוור.

ממידע זה ניתן להסיק הערכה לאנרגיה הקינטית/ אנרגית התנועה של המטאוריד עברו מטאורידים קטנים (או ניתן להנחה כי בקרוב כל האנרגיה הופכת לחום ולאור ומכך לחשב את האנרגיה ההתחלתית), האנרגיה זו קשורה במסה ובמהירות של המטאוריד לפני הכניסה לאטמוספירה של כדה"א, וכך ניתן לחשב את המסה של מטאוריד קטן לפני גיוסתו בכדה"א אחת המשקנות מניתהות התוצאות שהתקבלו מכך, היא כי מרבית המטאוררים החיוורים (אלו שניתן לצפות בהם רק בשעות הלילה) הם בגודל של כגריגר חול עד גודל של כחצי ס"מ.

- ע"י בחינה מדויקת של האטה של המטאוריד כתוצאה מליחז האטמוספירה בה הוא חוצה - בחינה של השינויים באורך המקטעים, לעיתים ניתן להעריך את גודל המטאוריד. כך למשל באורוור הבא-



עבור המטאור בחלק השמאלי של התמונה אורכי המקטעים בקרוב קבועים, מכך ניתן להזכיר כי האובייקט "ריחף" לו בתחום האטמוספירה עם השפעה מועטה על המהירות שלו, ולכן הוא קטן יחסית ווחוס, ולכן השפעת התנגדות האויר אליו קטנה ביחס לתנוע ולמסה שלו. לעומת זאת, עבור המטאור מימין, אורך המקטעים הולך וקטן, ולכן ניתן להסיק כי הצפיפות שלו קטנה יותר, וההתנגדות האויר יותר משמעותית עברו. ראוי לציין כי אפשרות זו אינה הסבר האפשרי היחיד למתקבל, ויתכנו גם הסברים נוספים (שלא ניתן לאשר/לשלול מבלתי מידע נוספת).

פרויקט CONCAM

מטרתו העיקרית של המצלמות היא לחת חלך בפרויקט הבין-לאומי CONCAM. פרויקט CONtinuous CAMera, מאפשר גישה חופשית, דרך האינטראנט (אתר <http://nightskylive.net>), לתמונות שמיים עצמאיות מקומות שונים בעולם (נכון לעכשיו סה"כ 11 מקומות, אם כי חלק מהאתרים תקלות מונעות הפעלה סידרה).

התמונה מימין, היא מפת העולם, המוצגת בדרך הבית של האתר פרויקט CONCAM, התמונה מתעדכנת באופן רציף ע"פ מצב השמים באותו זמן. הכוכבות בתמונה, מסמנים מקומות שונים בעולם בהם מוקמות מצלמות CONCAM (ישראל, כוכביה תכלת), בליחסה על כוכביה בתמונה, מקבלים תמונה שמיים עצמאיות, מאותו אזור.



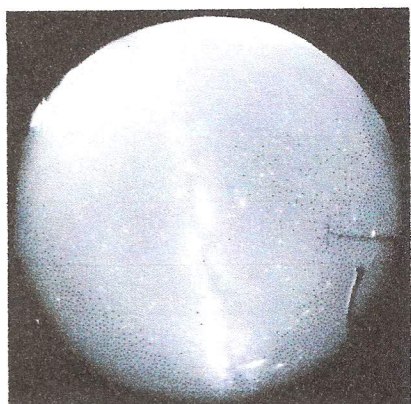
הפרויקט הנ"ל הוא יוזמה של אוניברסיטת MTU (Michigan Technological University), מישיגן, ארה"ב. במסגרת הפרויקט מוצגים באופן תמידי (וכמעט מיידי), תמונות מאזורים שונים בעולם בהם באויה העת לילה. בנוסף לכך, יש באתר הפרויקט ארכיון המסודר לפי אזוריים וזמנים (זמן הרשום הוא "זמן אוניברסלי" Greenwich Mean Time), המכיל את התמונות שצולמו בחודשים האחרונים ועד הלילה הנוכחי (עם נתונים נוספים כגון מיקום הירח והפהה שלו, ע"מ שהיה קל יותר למצוא את התמונות שפחות מושפעות מהירח).

התמונות הנלקחות מהמקומות השונים, הן תמונות שמיים מלאות- זווית צילום של 180° (מאופק לאופק, ע"י שימוש בעדשת עין דג, ראה הסבר בהמשך), התמונות מכל אזור, הן בחשיפה של 180 שניות, ונקודות כל 3 ו-56 שניות במשך כל הלילה, כל לילה (למעט לילות חרגים), והן באיכות המאפשרת שימוש לצרכים מדעיים (מציאת בהירות של כוכבים, ניתוח השפעות אטמוספריות וכו', פרטיים נוספים על שימוש לצורכי מחקר מדעי-http://nightskylive.net/NightSkyLive_for_scientists.html).

-ישראל CONCAM

על גג מצפה הכוכבים וויז (Wise Observatory) של אוניברסיטת ת"א, הממוקם במצפה רמון, ישנה מערכת המכילה גלאי CCD ועדשת עין דג (על רכיבים אלו בהמשך), אשר באופן אוטומטי מצלמים תמונות שמיים בחשיפות של 180 שניות. התמונות הנ"ל מועברות באופן ישיר לשרת של אוניברסיטה, MTU, ומוצגות באתר פרויקט ה CONCAM. כמו כן התמונות מאוכסנות גם בשרת של האוניברסיטה, באתר <http://wise-concam.tau.ac.il/concam/archive/images.html>. שני המאגרים הנ"ל פתוחים לקהל הרחב, וזמינים חינם לכל דורש.

הפרויקט החל לפעול במצפה רמון ב-27 ליוני, 2001, ופועל מאז ועד היום, בכל לילה.



בתמונה מימין, התמונה הראשונה שצולמה ע"י מצלמת ה CONCAM הריאשונה בישראל (27 ליוני, 2001).

בתמונה רואים את שביל החלב, את וגה (כוכב מערכת הנבל), את מאדים וכן עצמים נוספים.

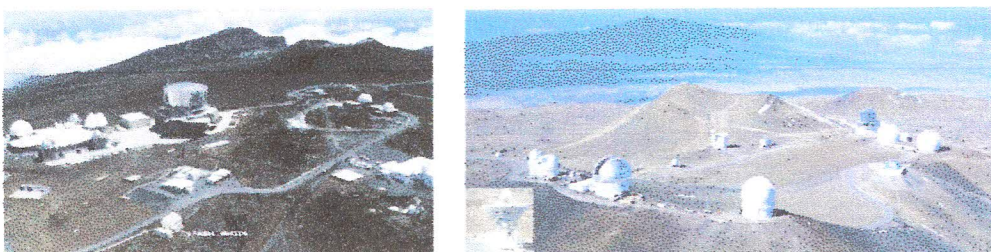
המצלמה בפרויקט CONCAM במצפה רמון, הוחלפה וושוכלה מספר פעמים, וכך אמר על בפרויקט CONCAM 4. גמר זה ארך חלק בבניית הגיטה הרביעית,

פרויקט דומה קודם

אחד מההידושים במערכת 4 CONCAM היא שהצלום הוא שני איזורים שונים ולכון מאפשר לקבל גובה ומרחק מסלול המטאור ע"י שימוש בעיקרונו הפלקסיה. השיטה הנ"ל כבר נסתה במקומות שונים בעולם, בין היתר במסגרת פרויקט CONCAM.

פרויקט CONCAM בהוואי:

2 מצלמות, במרחק 128.1 ק"מ זו מזו, האחת ממוקמת בהר הגעש הכבוי מאונה- קאה (Mauna Kea) שבhoeואי, והשנייה ממוקמת בהר האלאקאללה (Haleakala), באי אחר גם כן בהוואי. המרחק בין שני אתרים אלו הוא מספיק קטן על מנת לקלוט את אותם מטאורים, אולם מספיק גדול על מנת לאפשר שימוש בשיטת הפלקסיה.

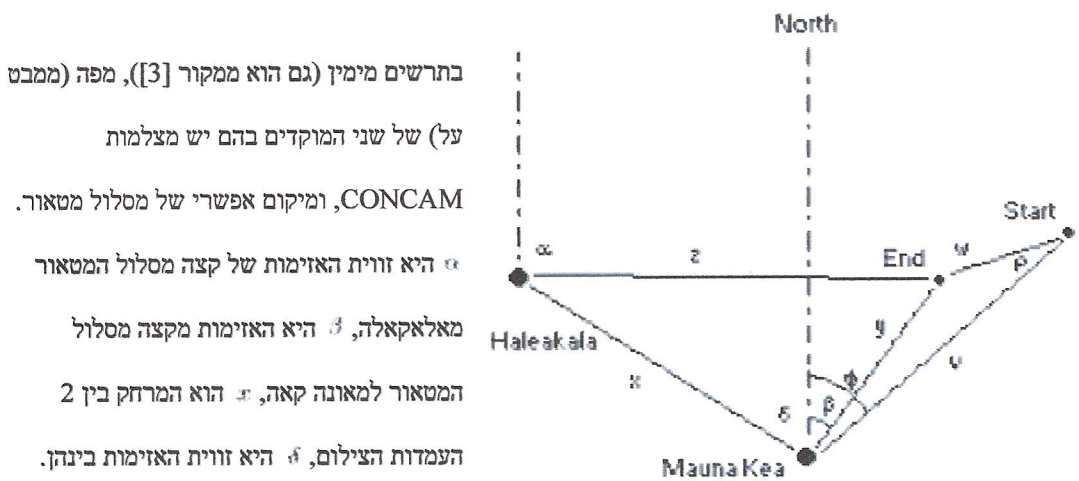


(בתמונה מצפה מאונה- קאה ומצפה האלאקאללה בהתאמה).

בחלק זה אסביר את ניתוח תנועות מטאורים מזוג מקומות אלו, ניתוח זהה יעשה לאחר מיקום המצלמות במצפה רמון. מרבית הנאמר כאן, מתבסס על המאמר Analysis of Meteor Trails Using the Night Sky Live Network of Panoramic CCD cameras של ליאור שמיר (מקור[3]).

על מנת לנתח את המסלול של מטאור נדרשות קואורי התחלת מסלול המטאור וסופו, קואורי אלו מתקבלות ע"י מיציאת הקואורי (y, x) של חילית המסלול וסופו, בשתי תנועות שנלקחו במקומות שונים, והמרת הקואורי הנ"ל לקואורי השמיימות (Alt, Az) עבר כל תמונה ועבור ראשית המסלול וקצתו. ראוי לציין כי בניתוח הנ"ל אנו מניחים כי התחלת המטאור הנראה היא אותה התחלת עברו שני המקומות. זאת למרות שאתר אחד קרוב יותר למטאור מאשר האתר השני ולכון המטאור נראה ממש בהיר יותר מבראשו.

נתבונן באירור הבא:



בהתאם הזרימות (זווית האופק) בין שני מיקומי הצילומות (במקרה הספציפי של CONCAM הוואי-

(320.35°, וכן המרחק בין שני המיקומים, המרחק האורזינטלי של קצה מסלול המטאור, ממאונת קאה

$$y = \frac{x \cdot \sin(180 - \delta - \alpha)}{\sin(\alpha - \beta)}$$

$$z = y \cdot \frac{\sin(\delta + \beta)}{\sin(180 - \alpha - \delta - \beta)}$$

הגובה של קצה מסלול המטאור ממאונת קeah (נסמן ב- H_{end}) הוא y כפול טנגנס הגובה הזרוית של סוף מסלול המטאור שנמדד בהאלאקאללה.

$$D_{abs} = \sqrt{H_{end}^2 + y^2}$$

באותנו אופן ניתן לחשב את המרחק האורזינטלי של תחילת מסלול המטאור ממאונת קאה לפי

$$v = \frac{x \cdot \sin(180 - \delta - \gamma)}{\sin(\gamma - \phi)}$$

היא האזימוט מהתחלת המסלול למאונה קאה.

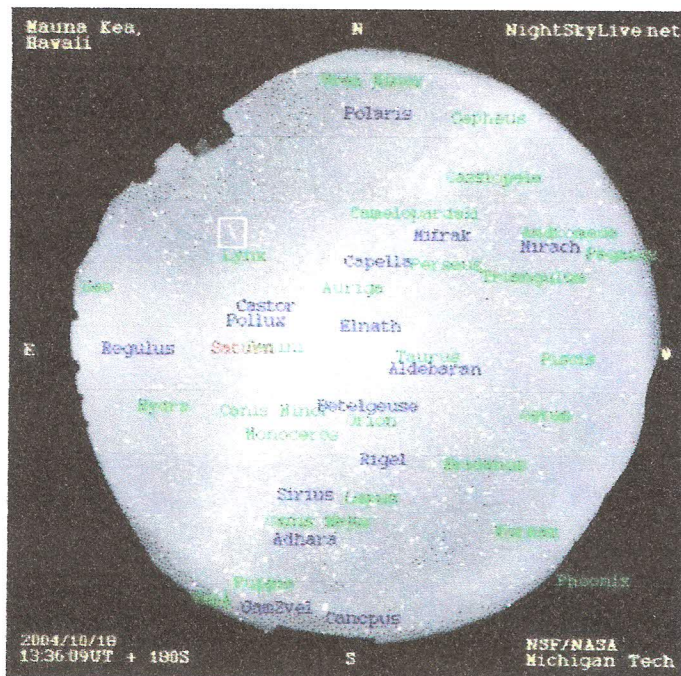
$$v \cdot \frac{\sin(\delta + \phi)}{\sin(180 - \delta - \gamma)}$$

$$w = \sqrt{(\sin(\phi - \beta)y)^2 + (v - \cos(\phi - \beta)y)^2}$$

האורך האורזונטלי של מסלול המטאור הוא

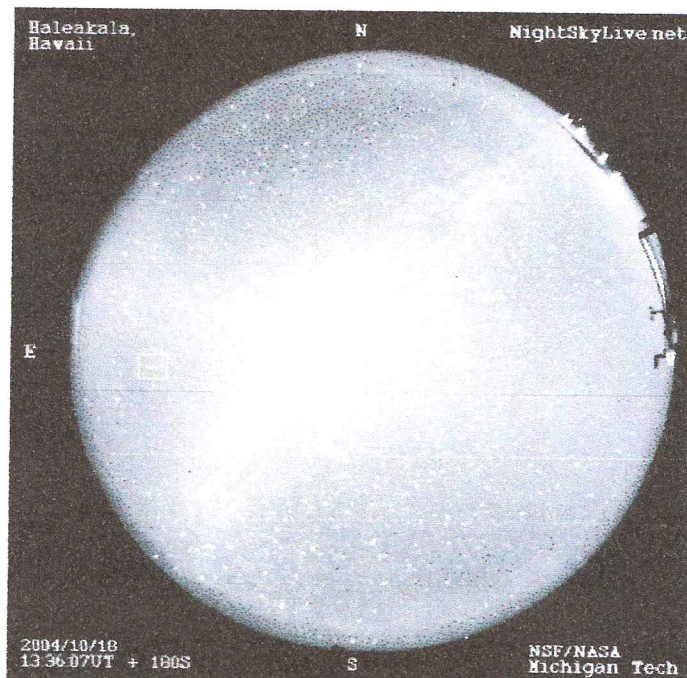
2 תמונות של אותו מטאור משני אתרים צילום אלון

צילום מצלמת CONCAM מהמצפה אשר במאונה-קאה



(בריבוע הלבן, צילום של מטאור, הכתוביות על אובייקטים אחרים הן שמות אובייקטים קבועים אלו).

צילום נוסף של אותו לילה ואומה שעה, מצלמת CONCAM מהמצפה אשר בהאלאקאלה



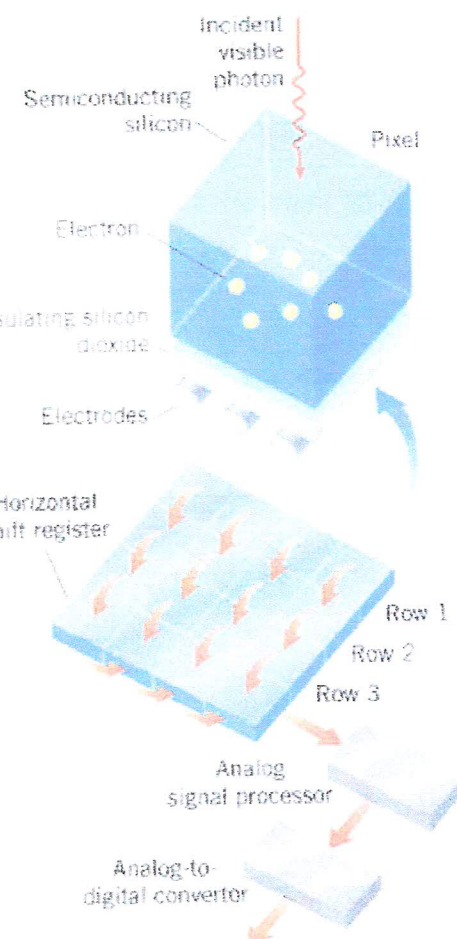
(בריבוע הלבן, צילום של אותו המטאור שסומן לעיל).

גלאי CCD

כל אחת משתי המערכות תכלול גלאי CCD, אלמנת להבין טוב יותר את הפרק על כיוול הgalais, נדרש להכיר את המבנה ואת אופו פועלותו של גלאי ה-CCD;

גלאי ה CCD , Charge Coupled Device , הוא מטריצה של רכיבים פוטואלקטריים המmirים את האור (פוטונים) שנופל אליהם למטען חשמלי, ומאפשרים צבירה של המטען, ולאחר מכן קרייאתו באמצעות מעגל הייזוני.

בתמונה מימין:
המחשה של מבנה ה .CCD
אור פוגע במשטח מל"מ, וגורם ליצירת אלקטרון.
אותו משטח מל"מ הוא חלק ממערך (מטריצה) של תאים כדוגמת התא הנ"ל.
המטען החשמלי (האלקtron) נצברים עד שמחבצעת קרייאה.



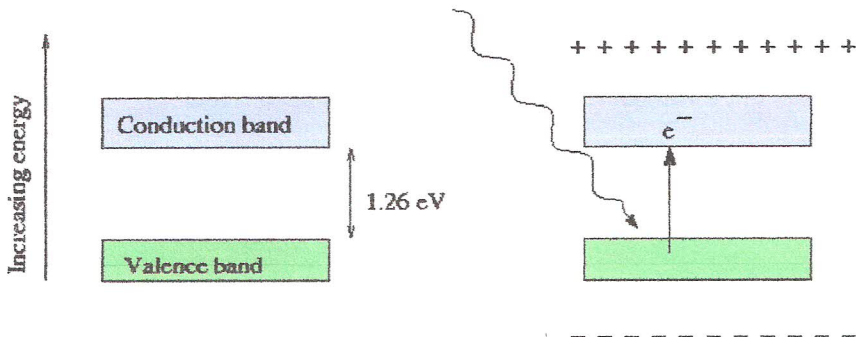
רכיב זה הומצא בשנות ה-70 של המאה הקודמת, והוא בתחום שימוש כרכיב זיכרון, לאלקח זמן רב עד שניצלו את אופי התגובה שלו לאור, והחלו להשתמש בו גם לצורכי הדמיה. טכנולוגיה זו עשתה מהפכה בין היתר גם באסטרונומיה שכן אפשרה יעילות גבוהה יותר בקלטת אור וזמן תגובה בעלות עצמת מגנטודה

גובה כמעט בשני סדרי גודל מהטכנולוגיה הקודמת (דבר שאפשר Zihoi של עצמים חיוורים מאוד בחשיפות קצרות יותר ועם פחות הפרעות).

התאים הפוטואלקטריים הם למעשה משטחים קתודים של חומר מוליך למחצה (מל"מ), אשר משנה את המוליכות שלו בעקבות חשיפה לאור, ובכך מאפשר מעבר זרם. המוליכות פרופורציונית (בקירוב, ובתחום פועלות הרכיב בלבד) לעוצמת האור הפוגע. סוג המל"מ ממנו עשויים התאים קובע את תחום תדרי האור אליו הגיעו הגלאי, את רגישותו לאור, את העוצמה בה תהיה רוויה וכו'.

התא הפוטואלקטרי, מסתמך על האפקט הפוטואלקטרי; גביש סיליקון (או מל"מ אחר) הוא בעל פסי אנרגיה דיסקרטיים, פס האנרגיה הגבוה ביותר המכיל אלקן בטמפרטורה מסוימת נקרא פס ערכיות, ואילו פס האנרגיה (המזהה) מalgo נקרא פס הholecar. בטמפרטורת סופית, מרבית האלקן מצויים בפס הערכיות, והשאר מעוררים לפס הholecar ע"י אנרגיה תרמית (חימום) או ע"י בליעת פוטונים, האנרגיה הנדרשת על מנת לעשות ערזור זה היא בדיקת רוחב "הפס האסור", עברו סיליקון למשל $V_{1.26\text{ eV}}$.

המחשה באIOR הבא-



בஹגיו לפס הholecar האלקן חופשי לנوع בגביש, בהעדר שדה החשמלי החיצוני האלקן יעבור לאחר זמן קצר רקובינציה עם חור, חור הוא למעשה מיחסור לאלקן, צפוי הוא עם מטען כמו של אלקן אך חיובי, והוא ממלא את רמת הholecar והרמות מלאיה, וכן הוא קיים גם ברמת ערכיות באופן מופחת. כל אלקן אשר עוזב את רמת הערכיות השאיר במקומו חור.

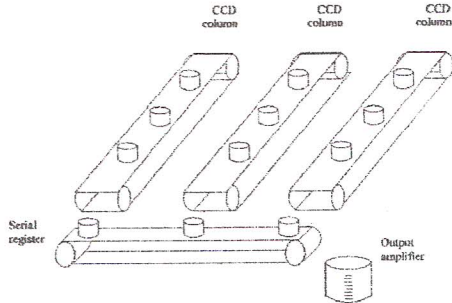
במקרה ויש שדה חיצוני, כמו במקרה שלנו (גלאי CCD), השדה גורם להרחקה של האלקן מהחרורים, ובכך מונע מהם לחברו יחד ולהעלם.

האלק' המעוררים תרמית, מתווספים לסיגל הרצוי לנו (סיגל רצוי הוא זה הנובע מבליעת קרינת אור בלבד), ולכן מעווים רعش נלווה הנקרא "זום חושך", הזום הנ"ל גדול ככל שהארגון התרמית גדול, וכן, כפי שנראה בהמשך (בפרק אפיון CCD), מעדיפים לクリר את גלאי ה- CCD.

aicot haGalai moshefut mcmah gormim-

- רגישות התאים- מה הוא אחו הפוטוניים שככל תא מזזה מכל הפוטוניים שפגעו בו.
- כמות הרעש שנוצר בהתאם (התיחסות לכך בהמשך בפרק של ציול CCD) רמת הזולגה מתא אחד לשכניו וכו'.
- רמת האחדות של התאים השונים (באופן אידיאלי הם זהים לחלוטין, אולם בשל אי אחידות ביצור/ התישנות הרכיב או פגמים בו החישנים השונים עלולים להפגין מאפיינים שונים לאוthon ערעור. תופעה זו איננה קריטית במערכות גדולים במידה וההתקפות של החישנים במרק' היא אחידה יחסית, וכן כפי שנראה בהמשך יש דרך לה להיות משמעותית אף פחות בתמונה הסופית).
- מאפייני הרכיבים האלקטרוניים המבצעים את הקריאה (בהם נדון מייד).
- aicot hata'ma ham'takbala mahgalai, tlo'ah cmoven gam b'meser pikselim hocol (meser haTaim b'maruk).

אנלוגיה שכיחה לפועלות ה- CCD, היא כדלקמן: מספר דלים (פיקסלים, מספר תאים) מסודרים במטריצה (הממוקמת במישור הפוקלי של העדשה). הדלים מחוברים למספר רצויות הובלה אורכיות מסוודרות בטoor, שבڪצה שלהם רצואה נוספת, מאונכת להן, אליה יש דלים נוספים האוגרים את הפוטונים מהדלים. זאת כפי שניתן לראות באירור הבא:

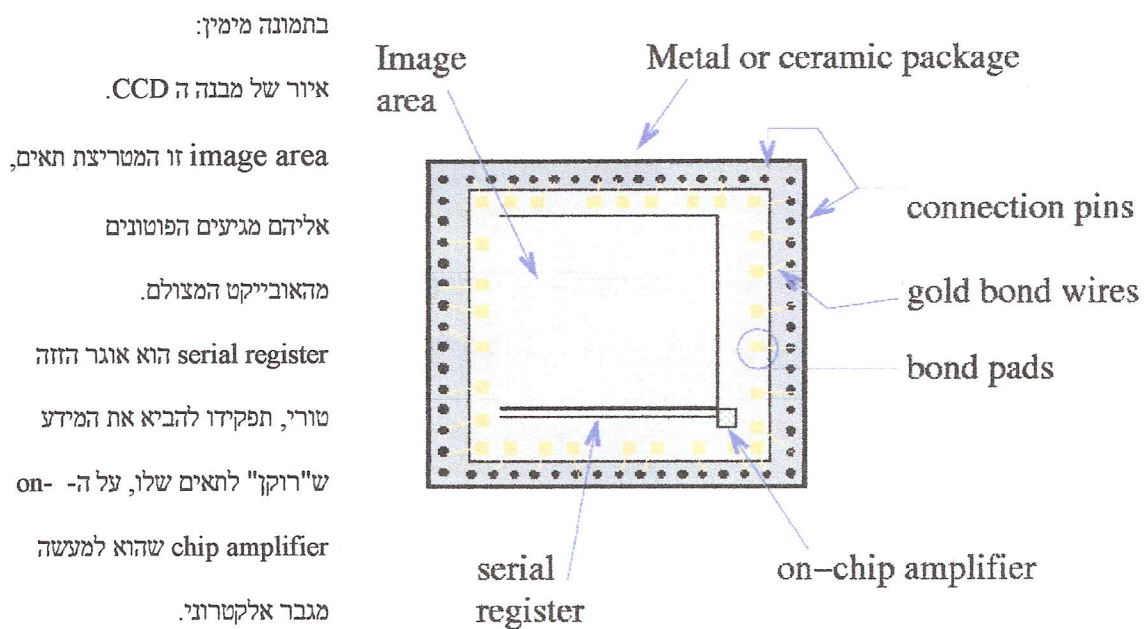


בזמן החשיפה, הדלים במקומם והרצעות לא זווית, הפוטונים יורדים ונאגרים בדלים, ברגע שמנפסיקים את תהליך החשיפה (הצמצם נסגר), רצועות ההובלה מובילות את הדלים ומרוקנות אותם לדלים אחרים, כל דלי לDALI אחר (גם הרצואה אונכית נעה), הדלים ברצואה האנכית מתroxנים זה אחר זה לתוך מיכל מדידה בקצה CCD (למעשה זה מגבר אלקטרוני).

"תהליך הקריאה"- הוא למעשה התהליך בו "הדלים" מועברים לדלים אחרים, ומשם למכשיר המדידה, עד שכל הדלים מתroxנים.

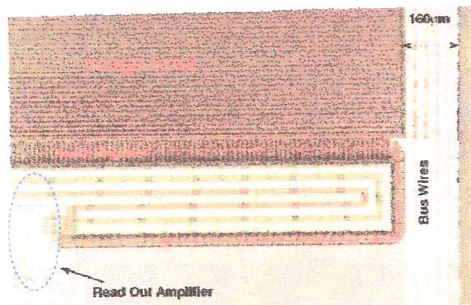
מבנה גלאי CCD - המטריצה ממוקמת במישור הפוקלי של העדשה. במהלך החשיפה הפוטונים מומרים למטען ונאגרים בהתאם, עם סיום החשיפה והתחלה תהליכי הקריאה, המייד מעבר פיקסל פיקסל (בדומה לאנלוגיה שלעיל) ע"י אוגר הזזה טורי על הרכיב שמבצע האגרה.

תמונה להמחשה:

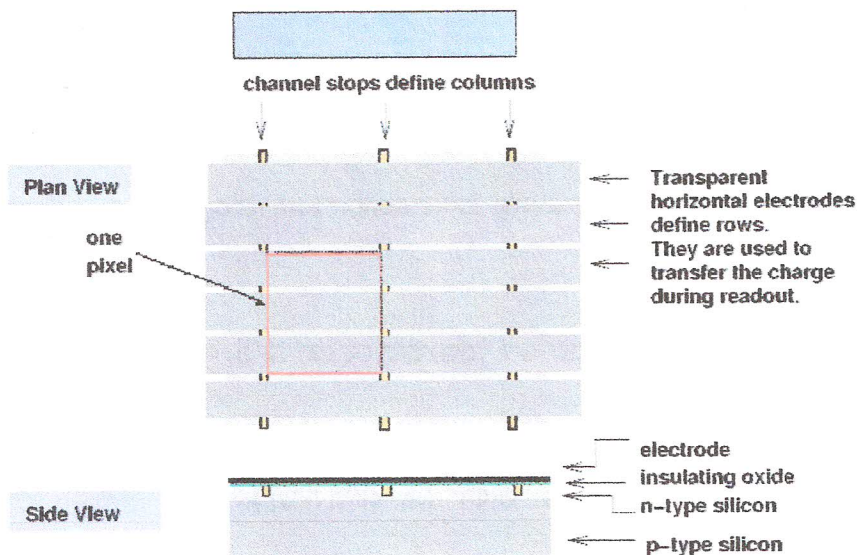


גלאי CCD, מיוצרים על מצע (wafers) של סיליקון (או מל"מ אחר), בשיטת פוטו-ליטוגרפיה, בדומה למחשב. גלאים המשמשים לצורך מדעי, כמו במקהה שלנו, גדולים יחסית, ולכך מסובך לייצר מצע בגודל מסוים גדול (זו הסיבה העיקרית למחירם הגבוה).

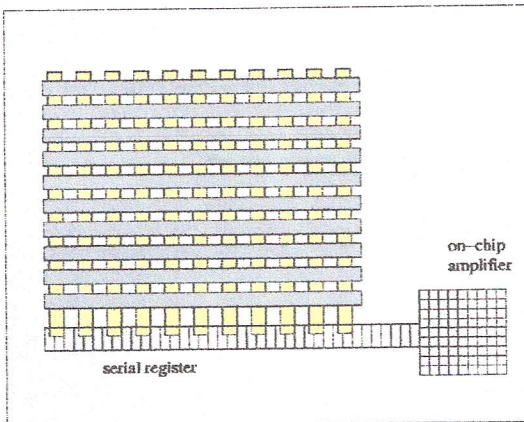
צורה אופינית של אותו משטח בצילום פוטומיקרוגרפ (צילום אמיתי שנעשה ע"י מיקרוסקופ)



- CCD מטריצה של פיקסלים (כמה פיקסלים) ממטריצה של CD

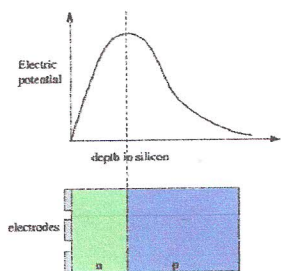


כל אלקטרודה שלישית מחוברת יחד כך שהיא מקבלות את אותו הפוטנציאל (ראה הסבר בהמשך). מתחת למטריצת התאים (השתח שמכיל את האלקטרודות האורכיות) יש את אונגר ההזזה הטורי אשר גם הוא מורכב מאלקטרודות, ישן 3 אלקטרודות עברו כל עמודה במטריצה.



כפי שציינתי בתחילת, ללא שדה חשמלי חיצוני, האלקן שיווצר יעבור רקומבינציה לאחר זמן קצר מאוד,

ולכן נדרש לספק שדה חיצוני. המשטח מל"מ אותו ציינתי קודם, מורכבים למשהו משני סוגים מל"ם



מחוברים זה לזה, האחד n -type (מל"מ ניטרלי המזוהם בדונורים), והשני

p -type (מל"מ ניטרלי המזוהם באקספטורים), למעשה זו זמת PN - בצד

ה n יש אלקן עופרים שייעברו בתחילת הצד ה n ובצד ה p חורים עופרים

שייעברו לצד ה p , הדיפוזיה תגרום לייצור אзор טעון חיובית ואזור טעון

שלילית (בשל היונים שנתרו ללא חורים/אלקן באזור המהסור) וזה יגרם לייצור שדה חשמלי שייגרם

להפסקת הדיפוזיה.

המערכת בונה כך שהפוטנציאל החשמלי יגיע למקסימום רק לצד ה- n , ושם האלקן שיווצרו יצטברו,

מטרת המבנה הנ"ל הוא להרחק את הפוטואלקטרונים ממשטח CCD שם יוכל להיות לכידה, וכן

כך זה מוריד את כמות האלקן הנוצרם בשל ערער תרמי (זרם חושך).

הפוטנציאל של האלקטרודות נקבע לפי המצב הרצוי CCD, יש פוטנציאל מסוים (חיובי) בזמן החשיפה

(צבירת המטען), ופוטנציאל אחר (משתנה, ותליי בקצב קריית הנתונים) בזמן הקריאה, ע"י שינוי

פוטנציאל זה קבועים מתי מתחילה לצבר מטען, ומתי מפסיקים לצבר ומתיilihם לספר את המטען

שנוצרו.

עדשה עין הדג (Fish eye lens)

עדשה זו בעלת שדה ראייה רחב מאוד (זווית צילום של כמעט 180° , ולעתים אף יותר) והוא מסוגלת

לצלם את חצי מרחב (hemisphere) בתמונה אחת, עדשה

מסוג זה משמשת בין היתר לצורך צילום תמונות אסטרונומיה מאחר והוא מאפשר לצלם בתמונה אחת

כמעט את כל השמים הנראים מאותה נקודה (ולכן עדשות

מסוג זה, מוכרות בקרוב קהילת האסטרונומים גם בשם

.("whole-sky lenses")

כל עדשה בעלת זווית ראייה גדולה גורמת בין היתר לעיון

התמונה, היא מכנה לתמונה מבנה מעגלי (האינפורמציה לא

"מפוזרת" הומוגנית בתמונה, אלא דחוסה יותר בקצוות, או

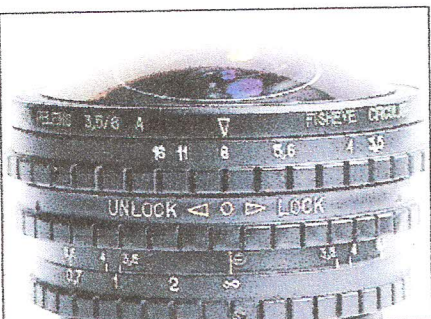
במילים אחרות, האופק נראה קטן ומרוחק יותר).

השם של העדשה נובע מהיות התמונות הנראות דרך דומות

למבנה המិוחס לתמונה הנראית ע"י דג; כאשר דג מתבונן

כלפי מעלה, דרך המים, על כיוון פניו המים, הוא רואה בזווית ראייה גדולה (כמעט 180° מעלות) את

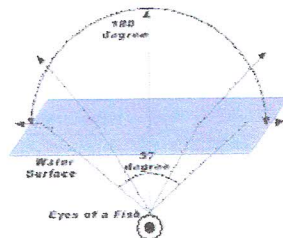
הנמצא מחוץ למים, זאת בשל אופי שבירת קרני האור במעבר אוויר-מים.



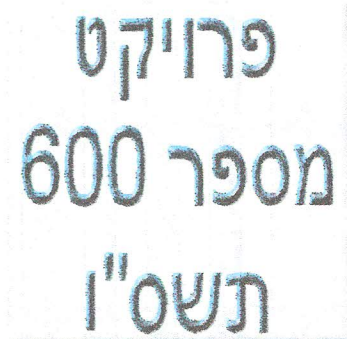
בשתי התמונות (מעל טקסט הב"ל ומתחתיו),
דוגמאות לעדשות עין הדג.



באוויר מימין, ניתן לראותה המוחשة של החופה הב"ל



דוגמה לתרמונה "רגילה" -



אותה התמונה, לו הייתה מצולמת בעזרת מצלמת עין הדג-



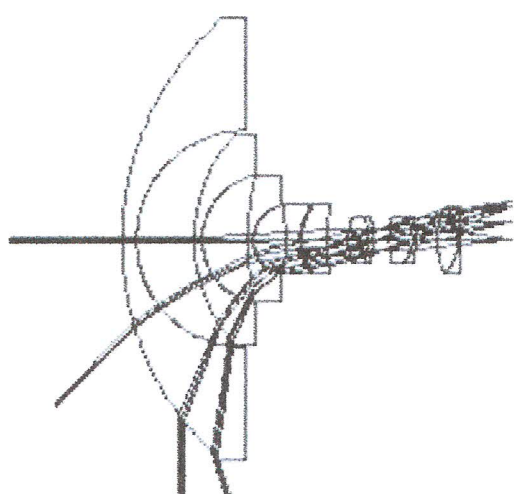
(ציור באמצעות תוכנת הגרפיה Jasc Paint Shop Pro)

מבנה העדשה ומעברי קרניים בעדשת עין דג אופיינית-

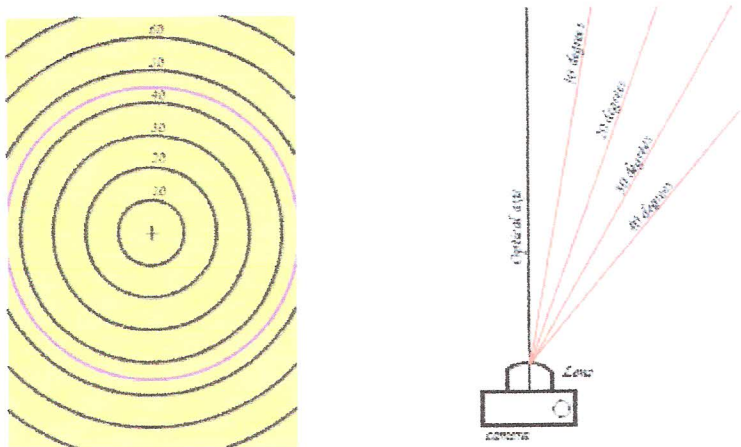


כאמור לעיל, עדשת עין הדג מסוגלת "לראות" בפתח זווית של עד 180° (ולעתיתים אף יותר, תלוי בסוג העדשה), זאת מאפשרה בשל המבנה הייחודי של העדשה. עדשות אלו מכילות למעשה מספר עדשות, חלקן מפוזרות וחלקן ממוקדות, כך למשל בסכמת עדשה הבאה:

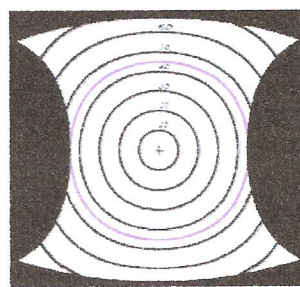
בתמונה מימין: דוגמה למבנה פנימי של עדשת עין הדג, המבנה הב"ל יכול להשתנות מדגם לדגם, אולם באופן כללי עדשה מסוג זה בנויה מספר רב של עדשות, חלקן מפוזרות וחלקן מרכזות, וזאת נמצאות במבנה מסוימים ובמרחקים ספציפיים זו מזו, כך שבסופו של דבר מקבלים מצלמה המאפשרת צילום איקוני של בזווית של 180 מעלות.



בעדשה מסווג זה, המרחק האנכי של אובייקט מהציר הפוקאלி, שונה מזוה שנראה בתמונה המצלמת, לכל דגם מצלמה ניתן להתאים פונקציות מיפוי, אשר תאפשר הסקט המיקום "האמתית" של האובייקט ביחס למרכזו (כלומר מה המרחק של אובייקט בתמונה, מרכזו התמונה, אם התמונה הייתה תמונה שטוחה "רגילה"). פונקציות המיפוי לרוב מכילות פונקציות טריגונומטריות/היפרבוליות/ פולינומיליות או קומבינציה שלן, הפונקציות הב"ל נקבעות לרוב באופן אמפירי וייחודיות לאותו דגם עדרשה. עדשת עין דג מסווג equidistant ("שווה מרחק"), שהוא גם סוג העדשה בה אנו משתמש (Nikkor 10.5mm), היא עדשה בה המרחק מהמרכז של פיקסל בתמונה המתבלט פרופורציוני ישר לוויית המוקרטת, זאת כפי שמודגם בתמונה הבאה-



כך למשל קרן אור המגיע לעדשה בזווית 10° , תוצאה למקום כלשהו על הטבعة שמסומנת בצייר ב- "10" וכן אליה. אם מתרגמים את האינפורמציה מהתמונה המתבלט לצורת תמונה רגילה (מלבנית) מקבלים:



אפיון CCD, הקדמה-

כפי שצוין לעיל, במערכת הב"ל נשתמש בגלאי CCD. על אף שגלאים מסוג זה ייעילים בהרבה מאשר סրטוי צילום כימיים בהם השתמשו בעבר, עדין ישם רעשים ושיבושים בתמונות.

ניתן לモדול ערך כל פיקסל בתמונה באופן הבא:

$$s(x, y) = B(x, y) + tD(x, y) + tG(x, y)I(x, y) + \text{noise}$$

כאשר: u , x והקאוור של אותו פיקסל במטריצה, B זה ערך הביאס (פירוט בהמשך) עבור אותו פיקסל, t הוא זמן החשיפה - ככלומר מהו האינטגרואל בזמן בו אפשרנו לגלאי לאנור פוטוניים, D הוא זרם החושך, G היא הרגניותות של כל פיקסל לאור, ו- I זו עצמת האור המגיע לפיקסל מהמקור אותו ברצוננו לצלם (ולמעשה זה הערך שמעניין אותנו והוא בראינו לבדוק עד כמה שאפשר משאר הגורמים).

Dark frame

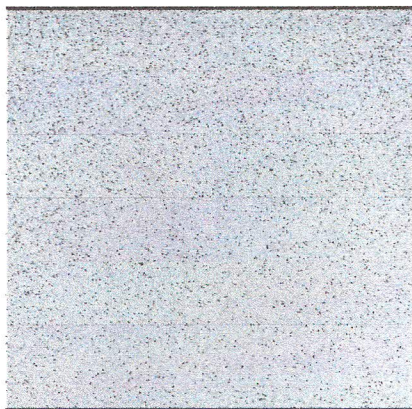
"תמונה חושך" היא תמונה הנלקחת כאשר הצמצם של המצלמה סגור - אין מקור חיצוני המAIR על המערכת. זמן החשיפה של התמונה זהה לזמן החשיפה של התמונה הרצiosa (קרי עם מקור חיצוני), והוא למעשה מכיל רק רעש המתלווה לתמונה, לאחר והרעש הוא סטטיסטי מצטמים מספר תМОונות חושך ויוצרים תМОונות חיזוני של תМОונות אלו (הערה - משתמשים בחיזיון ולא במוצע מאחר ופיקסלים עם ערך גבוה באופן קיזוני, אפילו אם יש מספר מועט מהם, יכולים להשפיע על המוצע כך שהמשקל שלהם בו יהיה גבוה בהרבה משקל שאר הפיקסלים, לעומת זאת אם לוחמים חיזיון מקבלים את ערך הפיקסל "מיקומו הסידורי" מבחינת העוצמות הוא באמצע, וכך מתחשבים כך בכל הפיקסלים באותו אופן).

אם נמשיך עם המודול שלעיל, עבור כל פיקסל נקבל את הערך הב"ל -

$$d(x, y) = B(x, y) + tD(x, y) + \text{noise}$$

(התמונה הרצiosa), מקבלים תמונה נקייה יותר, עם רעש מופחת (הסביר נוסף בהמשך).

תמונה dark לדוגמה (תמונה בודדת, 50 דקוט חשיפה) -

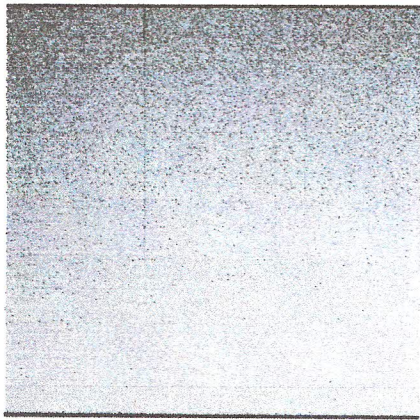


-Bias frame

תמונה הביאס גם היא תמונה המצלמת כאשר הצמצם של המצלמה סגור, אולם הפעם זמן החשיפה הוא אפסי (וליתר דיוק- זמן החשיפה המינימאלי שהמערכת מאפשרת). כלומר תמונה זו היא ללא חשיפה אלא קריית נתונים בלבד (readout), ולכן למעשה הנתונים המתקבלים הם בשל רعش קרייה בלבד (ראה הגדירה בהמשך), במודל שלעיל- עברו כל פיקסל בתמונה הביאס מקבלים -

$$b(x, y) = B(x, y) + \text{noise}.$$

תמונה ביאס (בודדת) לדוגמה:

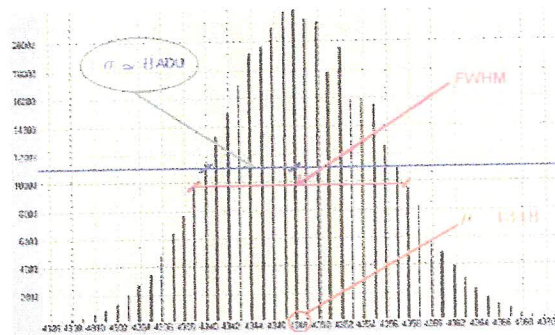


אם יוצרים היסטוגרמה של תמונה הביאס, מצפים לקבל צורת גאוסיאן. זאת מושם שרעש הקרייה מתפלג נורמלית (ראה הסבר נוסף על רعش קרייה בהמשך). המשווה המתארת זאת היא:

$$G = \frac{1}{\sigma\sqrt{2\pi}} \exp\left[-\frac{1}{2}\left(\frac{x-\mu}{\sigma}\right)^2\right]$$

כאשר μ זה הערך הממוצע של רעש הקרייה, σ סטיית התקן ו α פקטורי המה בו נדון בהמשך.

כך לדוגמה בהסתוגרמת בIAS הבא (המתאימה לתמונה לעיל):

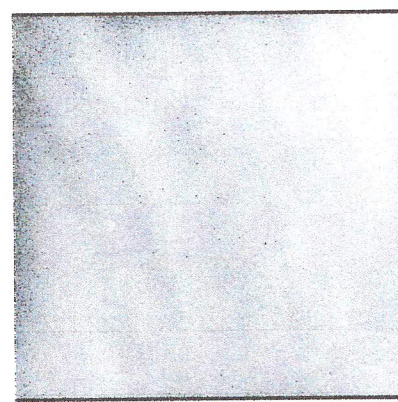


Flat Field Frame

כפי שצינו קודם, הריגישות של תאים שונים במטריצה של רכיב ה CCD אינה אחידה, ולכן פיקסליהם שונים בתמונה 'יוגברו' בעוצמה שונה.

תמונה Flat Field היא תמונה עם מקור האורה היחיד ככל האפשר, הולכת מתחת אותם תנאים של התמונה הרצiosa (אותה מערכת תחת אותם תנאים ואוטו זמן חשיפה). אם נחלק את התמונה הרצiosa בתמונה Flat Field, למשה גורום לאחדות בהגברי ערכי הפיקסלים השונים. (הערה- כפי שסביר בהמשך, החלוקת נעשת לאחר ההפחתה בIAS משתי התמונות).

תמונה Flat Field לדוגמה:



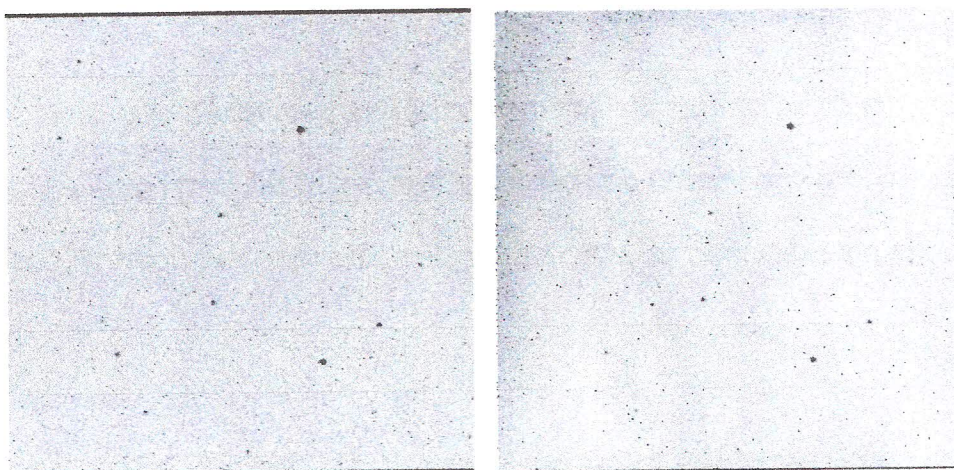
עבור כל פיקסל מקבלים (L היא עוצמת האורה)-

$$f(x, y) = B(x, y) + t_{flat} D(x, y) + t_{flat} G(x, y)L + \text{noise}$$

תהליך הרדווקציה (Reduction), הוא תהליך בו מנסים לבדוק את עוצמת האור I המגיע מהמקור המצלם, מתוך מדידת עוצמת הפיקסלים. שלבי פעולה:

1. החסרת תמונה החושך (למעה חציון של מספר תמונות חושך) מהתמונה הרצiosa (בעלת אותו זמן חשיפה, ותחת תנאים פיסיקליים דומים ככל האפשר).
2. החסרת תמונה החושך מתמונה ה- Flat field (חציון של מספר תמונות) ונרמולה.
3. חלוקת תמונה המתקבלת בסעיף (1) בזו מסעיף (2)

לדוגמה:



בתמונה מימין: תמונה שמים לא מעובדת, משמאלו אותה תמונה לאחר רדווקציה (תמונה החושך וה- Flat filed) הן אותן תמונות מהדוגמאות שלעיל).

הערה - קיימות מצלמות באסטרונומיה עבורין כמעט ולא קיימים זרים חושך, ולכן מספיק להשתמש בבייאס במקום.

ע"י לקיחת תמונות החושך, ביאס ו Flat filed ניתן גם לאפיין את הגלאי ולבוחן את טיבו. זאת נעשה בחלק הבא.

מטרה - מציאת הפרמטרים הבאים (פירוט עליהם מיל')

- יחס ההמרה - Conversion factor
- רעש קריאה - Readout noise
- ליניאריות הגלאי - CCD's linearity
- אחידות - CCD's uniformity
- זרם חושך - Dark current

יחס ההמרה -

יחס ההמרה הוא למעשה הקשר בין ערך שדרותי של הפקלים ביחסות (ADU) analog-to-digital לבין ערך שדרותי של האלקטרונים הנוצרים בכל חיישן (photosite) בגלאי. מדידתיחס ההמרה מאפשר אפיון של מאפיינים נוספים בgalaxy, כגון רעש קריאה וזרם חושך, בהם נדון בהמשך.

רעש קריאה -

רעש זה הוא הרעש המינימלי שמייצר הרכיב (רעש קוונטי). והוא מורכב משינויים אקראיים המופעים בموقع הרכיב כאשר אין סיגנל כניסה (קרי כאשר אין פוטונים הפגעים בחישנים, אך למרות זאת ישנים אלקטרוניים בעלי אנרגיה תרמית).

רעש זה מוגדר כ- RMS (root mean square) של השונות במספר האלקטרונים בموقع הגלאי. אפיון זה ייתן לנו ממד לטיב הгалאים ותקינותם, הוא יאפשר לנו לבחור איזה מבין הгалאים טוב יותר (על מנת להציב אותו בצלמה הראשית שתהייה במצפה), וכן יאפשר לנו לבחור מה הטמפ' האופטימאלית לクリור הгалאים (קיים טריד-אוף: לאחר והרעש הנ"ל תלוי באנרגיה החרמיה של האלקטרונים, וכך גם בטמפ', ככל שנקרר את הгалאים לטמפ' נמוכה יותר כן הרעש הנ"ל יקטן, אולם אוזי נשלם בצריכת הספק גבוהה יותר, מכאן שם נוכחות ראות כי מתחת לטמפ' מסוימת הקטנה נוספת לא תוריד משמעותית את הטמפ', נועדיה לא לクリר את הгалאים לטמפ' נמוכה מזו).

ליניאריות-

בגלאי אידיאלי ערך כל פיקסל פרופורציוני ישיר לעוצמת הAREA אליה נחשף הגלאי. עבור גלאים מעשיים לעומת זאת יש ספּ עוצמת הAREA, מעבר אליו החישון ברוואה, קרי - הגדלת מספר הפוטונים הפוגעים לא תגדיל את עוצמת זרם האלקן (כל האלקן מעוררים לפס הולכה של המל"מ), יתרה מזו, גם בתחום העוצמות הנמוכות מאותו ספּ, יש אי ליניאריות שמתגברת ככל שמדוברים לספּ זה (ראה הסבר נוסף בהמשך, בחלק של ניתוח התוצאות).

מטרת בדיקת הליניאריות היא לבדוק מהו המתחם הדינامي בו הגלאי מגיב באופן ליניארי לעוצמת הכנסה. לעניין זה יש חשיבות רבה משום שהתמונה שיצולמו יישמשו למדידת השטף של אובייקטים בתמונה, מידיה ונחשוף את הגלאי לעצמים בעלי עוצמת AREA גבוהה למשך זמן רב, השטף שיימדר יהיה קטן מהשטף האמתי של האובייקט, וכך לא תהיה למדידה חשיבות מדעית פרקטית.

אחדות-

גלאי אידיאלי הוא אחד לחלווטין. מבחינה פרקטית לא ניתן לייצר מערך של חישונים (photosites) וזהם לחלווטין. החישונים השונים בgalai בעלי ריגשות שונה לאור הפוגע, וכך נקבל גורם אי דיווק נוסף במדידת שטף עצמים. מטרת הבדיקה הנ"ל היא לוודא כי אכן הгалאים איזוטיים כפי שנטען ע"י היוצרים. נדרש לוודא כי השינויים ברגישות בין חישונים שכנים קטן מאוד, וכי האחדות הכללית של כל הgalai לא עולה על 10%.

רעש חושך-

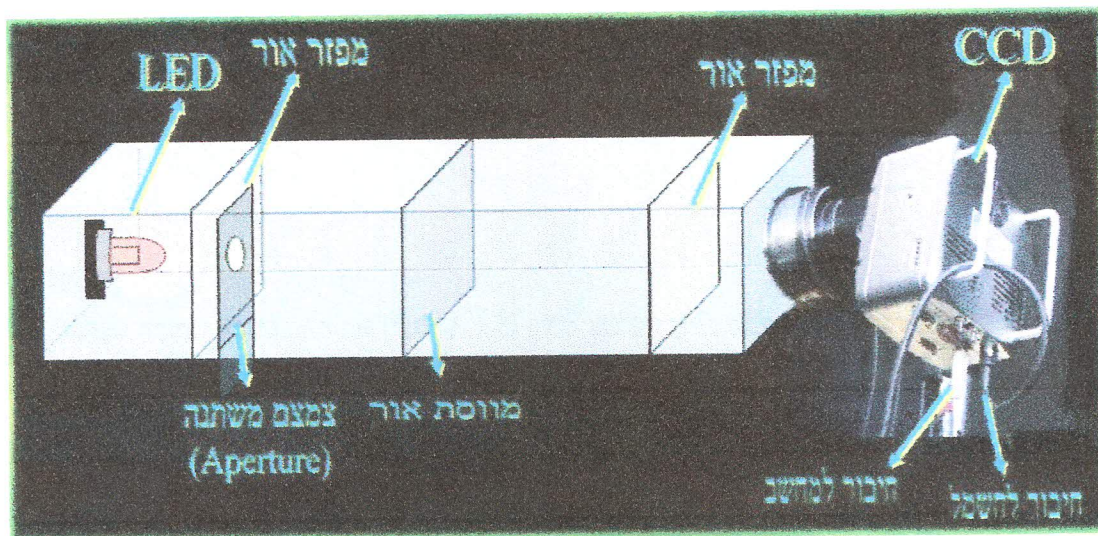
הטען הנוצר מאלקן שעורערו תרמית גדול ליניארית עם הזמן (הסביר נוספת לרבי רעש זה בפרק על מבנה ה CCD).

קירור הgalai מקטין את הקצב בו האלקן מעוררים תרמית. מטרת הבדיקה הנ"ל היא למדוד את זרם החושך (bihadowat Fisikallot - אלקן לשנייה ליחידת פיקסל), ולקבוע איזה מהгалאים טוב יותר, ולוודא שהם אכן בעלי האיכות הנדרשת מהם.

מלכודות מטענים (charge skimming)

לעתים חישנים המכילים שיבושים או זיהומים לא רצויים עלולים ללכוד אלק' אשר יתווסף בעת הקריאה לאלק' הרצויים. לאחר ורוכ עברו גלאים איקוטיים כמו הgalאים בהם אנו משתמשים נלכדים במקרה הרע, לכל היתר 100 אלק', תופעה זו עלולה להיות בעיית רק עבר סיגנלים בעלי עצמה נמוכה מאוד, או חשיפות קצות מואוד. נדרש לוודא כי תופעה זו לא משמעותית מידי.

המערכת שנבנתה ע"מ לאפיין את ה CCD היא כדלקמן:



תפקיד ה-LED - לספק מקור הארה קבוע בעוצמה נמוכה.

תפקיד מפזרי האור לגרום לאחדות הארה עד כמה שניין.

דפנות המערכת יהיו מחומר כהה וכן CISNO את המערכת על מנת למנוע הגעת אור מוחוץ למערכת.

המערכת נבנתה כך שניתן להתקין עליה מפתחי צמצם (Aperture) שונים.

היחס בין מפתחי ה- Aperture הם כדלקמן:

סימון הצמצם	יחס הארה (פרופ' לשתת המפתח)
A1	1008.1
A2	504
A3	252
A4	128
A5	64
A6	32
A7	16
A8	8
A9	4
A10	2
A11	1

ה- CCD חיבור למחשב, ובאמצעות תוכנה מתאימה ניתן היה לקבוע את הטמפרטורה של ה-CCD, ניתן היה לחתה הוראה לפתוח/לסגור את הצמצם של ה-CCD, לקבוע את אורך אינטראול החשיפה וכן שמירת הנתונים שהתקבלו מהגלאי בזמן הקריאה (ReadOut).

הפעון CCD, שלבי פעולה -

ראשית בכל פעם שנפעיל את ה-CCD החדש, יש להמתין כרבע שעה לפחות על מנת לאפשר למערכת להגיע למצב יציב - תחת מערכת הקירור להתייצב על הטמפל המתאימה וכן לשאר הרכיבים האלקטרוניים הגיעו. לטמפל קבועה.

נשאיר את LED כבוי, ניקח את התבנית שסומנו קודם - A5, נכוון את התוכנה כך שתהייה חשיפה בת 100 שניות של הגלאי (למעשה חשיפה לחושך) ולאחריה קריאת השטף. התמונה נשמרה כ- test dark .cut נדלק את LED, ונחזיר על הפעולה, הפעם נשמרות את התמונה כ- test bright frame .cut נחסיר את התמונה הראשונית (החשוכה) מהתמונה השנייה (המודרת), המטרה היא לבטל את זרם החושך ואת הביאם בתמונה המודרת. cut נמדד (בעזרת תוכנת המחשב) את ערך הממזע של הפיקסל.

-תמונה ה- bias ("תמונה ההיסטט")

הן חמשות אשר נלקחות ללא מקור אור וכאשר זמן החשיפה הוא קצר ביותר האפשרי ע"י התוכנה. התרומה היחידה ל- bias היא מההיסט היוצר רעש מגבר של הגלאי ומרעיש אלקטרוני (רעש רקע). תמונה ה- bias, נלקחו כدلקמן -

1. ה- LED כבוי, כך ששם האור לא נופל על הגלאי
2. נכוון לזמן חשיפה קצר ביותר האפשרי (ניתן לתת הוראה למחשב לעשות כן אוטומטית)
3. נצלם תשע תמונות bias, זו אחר זו.
4. את התמונות נשמר בשם BIAS אם אינדקס מתאים מ- 001 ועד 009.

-Skim

על מנת לוודא שאין מלכודות מטענים (ראה הסבר לעיל), נעשה חשיפה עבור מקור אור חיוור מאוד כך שכמויות המטענים הכלליות בחשיפה תהיה קטנה מ- 300 אלקטרון, ועם הזמן החשיפה קצר יחסית. נשתמש בתבנית A9 (החריר הקטן ביותר), ובזמן חשיפה (הזמן בו הצמצם פתחה) של 5 שניות.

1. נדלק את ה- LED

2. נצלם 9 חשיפות כפיה שתואר לעיל, בזו אחר זו.
3. נשמר את התמונות כ- SKIML עם אינדקס מתאים.
4. נכבה את ה- LED
5. נצלם תשע תמונות נוספות אך הפעם עם LED כבוי.
6. נשמר את התמונות הנ"ל כ- SKIMD עם אינדקס מתאים.

תמונות Flat

על מנת לקבוע את יחס המירה (אלקן ל ADU) ועל מנת לבדוק את ליניאריות הגלאי כפונקציה של הזמן, נעשה מספר חשיפות עובר אינטראולி זמן שונים. נרצה לבדוק כי עצמת הארת ה-LED לא משתנה באופן משמעותי במהלך המדידות שלנו, אחרת לא יוכל להיות בטוחים כי כל החוסר האידיאליות שמתבטה בתמונות נובע רק מהגלאי שלנו ולא מהמערכת הזמנית שנבנתה על מנת לבדוק את מאפיינו. לצורך כך,עשיתי את המדידות בשני סטים, פעם אחת הגדלתי את זמן החשיפה ובפעם השנייה הקטני יותר מהתמונה לתמונה. לצורך התמונות הנ"ל נדרשת עצמת הארת קבועה, השתמשתי אפוא בתבנית קבועה (לקחת תבנית בינוית- A5).

עבור כל זמן חשיפה נעשו 2 חשיפות FLAT וחשיפת DARK, השלבים הם כדלקמן:

1. הולקת ה-LED.
2. נקבע את זמן האינטגרציה ל- # (כאשר # הוא זמן חשיפה מסומי החשיפה שלעיל)
3. נעשה החשיפה של FLAT, ולאחריה החשיפה נוספת, באופן זהה לחלווטין.
4. נשמר את התמונות כ- FLAT#B ,FLAT#A (כאשר # הוא זמן החשיפה המתאים).
5. נכבה את ה- LED.
6. נkeh תמונה DARK, ונשמר כ- FLAT#D.

על השלבים הנ"ל יש להזור עבור כל זמני החשיפה.

תמונה DARK

כעת המטרה היא לעשות חשיפות DARK ארוכות מספיק על מנת שהיא זרם חזק בכל הפיקסלים, אולם זמן חשיפה לא ארוך מדי על מנת שלא יהיו פיקסלים (אלו ה"חמים" ביותר) שייכנסו כבר לרווייה. לכן בחרתי זמן אינטגרציה של 500 שניות, ועקבתי אחר השלבים הבאים-

1. צילום של 3 תמונות DARK (ה-LED סגור).
2. נשמר את התמונות כ-DARK001,DARK002,DARK003.
3. צילום תמונה Bias ושמירתה כ-DARKBIAS.

עיבוד הנתונים -

בדיקה תמונה ה-Bias

עבור כל אחת מתשע תמונות ה-BIAS, נמדד את ערך הפיקסל הממוצע (נסמן כ- \bar{S}_{PV}), ואת סטיית התקן של ערכי הפיקסלים (נסמן כ- σ_{PV}). זאת ניתן לעשות באמצעות התוכנה בה השתמשתי, באופן הבא-

נשתמש בסרגל Pixel Tool, נבחר כי השטח שימדד הוא עם רדיוס של 25 פיקסלים, ונלחץ על כפתור Get Statistics על מנת לקבל אפיון סטטיסטי של האזור אותו בחרנו. הערכים הרלוונטיים לנו הם הממוצע והחציון.

כעת ניקח את כל תמונות ה-BIAS ונשלב אותן יחד לתמונה אחת שהיא החזיון של כל תשע התמונות (בפועל זה נעשה בתוכנית ע"י בחירת התמונות הב"ל ואיחוזן באמצעות אופציית Median).

מבחינה תיאורטית, רעש קרייה אמרור להשתנות באופן רנדומאלי סביר הערך הממוצע בהתפלגות נורמלית (Gaussian Distribution). סטיית התקן של השונות הוא רעש הקרייה.

עבור כל תמונות Bias ניתן לתוכנית הוראה להציג היסטוגרמה ונווודה כי אכן לכל היסטוגמות פילוג נורמלי (למענה התוכנית מציגה את היסטוגרמה בגרף לוגריימי, ולכן נצפה לקבל פרבולת הפוכה).

על מנת לוודא כי אכן אין בעיה עם הגלאים נערך מספר בדיקות נוספת, לשם כך נשימוש בתמונה החזיון שיצרנו קודם, החזיון הוא למעשה "הערך האמצעי" = מספר הערכים הגדולים ממנו שווה למספר הערכים הקטנים ממנו, ובכך למעשה נעלים כל תופעה אשר מופיעה רנדומלית רק באחת התמונות וכן תופעות

המופיעות בכל התמונות אך משפיעות שונה, מכאן שם נבחן את התמונה הנ"ל נוכל לקבוע האם מקור לרעש מסוים הוא חסר Kohlrausch או לא;

יש לוודא כי אין קוויים (אורכיים/ רוחביים) או תבניות אחרות שモפיעות בעקבות כל התמונות, כמו שאכן עשייתי במהלך הבדיקה ולא ניכר היה שאכן קיימת תבנית כזו (אולם בכלל). אופציה אחת לסוג של התבניות כ אלה - היא אותה התבנית, המופיעה במקום משתנה לתמונה, במידה והיתה התבנית שכזו, היו יכולים להיות לה שני גורמים - פגם בגלאי או השראה - הפרעה הנובעת ממסך/מחשב/פלטפון או מכשיר אחר בחדר, ואז התבנית מוזגת כיוון שהיא מסכינה עם הגלאי, אופציה שנייה היא אותה התבנית באותו מקום עברו כל התמונות ואז סביר שהן נגרמה מהאלקטרוניקה של הגלאי עצמו, בכל מקרה, כפי שציינתי קודם, לא נצפתה התבנית ממשום סוג).

הרעש מרכיב גם מרעש f / 1 (שם נוסף noise), חופה זו וראיה לשינויים כמעט רנדומליים בرعש בין שורה לשורה, לאחר ושינוי זה אינו קבוע, ולא משפיע על כל התמונות באותו אופן, אין אפשרות להתחשב בו (אין אפשרות להחסיר את הרעש הנ"ל מהתמונה הרצויה...), ככל מקרה, שינויים אלו, גם אם קיימים לא יהיו משמעותיים כלל בתמונות שבוחני.

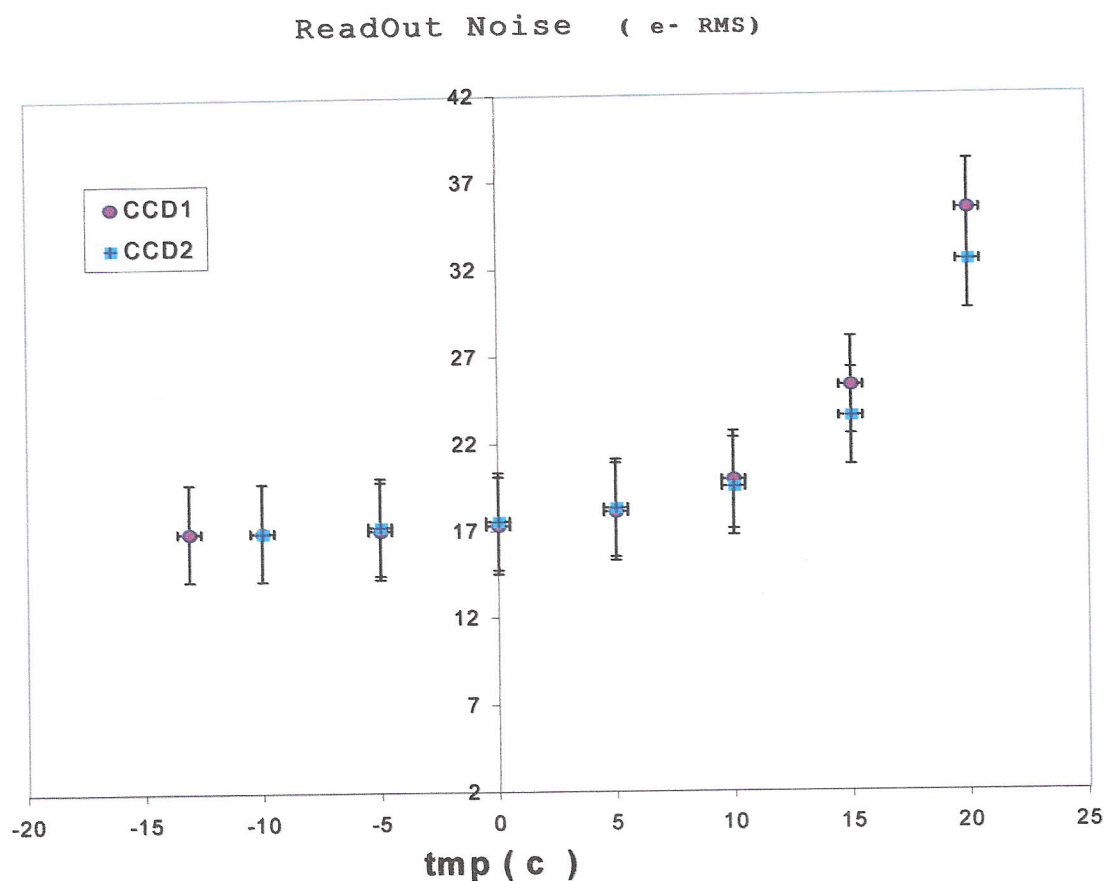
ReadOut Noise

נשתמש בסט המדידות של ה-Bias – ReadOut Noise – מגדר כטיטית התקן של גאוסיאן זה (כלומר של הגאוסיאן המתתקבל מהתוכנה של הפיקסלים השונים באותה תמונה), נמצא את סטיטית התקן עבור 9 תמונות ביאס (לכל CCD), ונכפול בפקטור ההמרה האמפירי (ראה חישוב בהמשך).

Frame	Mean PV [ADUs]	Min PV [ADUs]	Max PV [ADUs]	StD PV [ADUs]	ReadOut Noise- (RMS)
CCD1	971.00	950.00	1512.00	6.06	16.9983
CCD2	914.00	893.00	1564.00	6.08	16.9972

קיבלנו ערכים הגבוהים מהערך הנתון בדף היצרן (15e-RMS) בכ- 12.5%, שווה ערך ל- 0.714 סטיות תקן (התחשבתי בכך שערך השגיאה בערך האמפירית היא RMS (2.8 e-), ככלומר יש התאמה טוביה בין הנתונים עצם (בשני הgalais קיבלנו באופן קצר מיפוי ערך כמעט זהה) וההתאמה סבירה בין הנתונים האמפיריים לערך הנתון ע"י היצרן.

תלות Read Out Noise בטמפרטורה



בטמפרטורה נמוכות בקרירוב טוב רעש הקריאה קבוע, ושווה עבור שני הgalais השתמשתי במקדמי ההמרה האמפיריים, ראה חישוב בהמשך), ככל שהטמפרטורה עולה גם הרעש עולה, עבור CCD1 בקצב קצת יותר מהידר, ולכן מהבחינה הזו הgalai השני טוב יותר (בפרט אם הטמפרטורה גבוהה מאפס מעלה).

עקום הענות - Transfer Curve

עקום הענות הוא גרפ' השונות (σ_{PV}^2) כפונקציה של ערך ממוצע של פיקסל (\bar{S}_{PV}), עבור סט תמונות

השונות בערכי פיקסל שונים מתקבלת ע"י החסרת זוג תמונות Flat-field אשר זהות

מבחן המאפיינים שלון (הסביר מפורט בהמשך). מעוקם העות ניתן לקבוע את פקטור ההמרה של ה-

CCD, זאת משומ שהסקת פקטור הטרנספורמציה מתבסס על תכונות של התפלגות פואסונית (הרי

מדובר בקצב יצירה של פוטואלקטרונים) ולכן השונות במספר הפוטואלקטרונים בכל אינטראול דגימה

שווה לשורש ממוצע מספר הפוטואלקטרונים (סימני ב- \bar{S}_e).

הסיגנל בಗלאי מרכיב מקומבינציה של מספר האלקטרונים + רעש רנדומלי הנוגע לפי התפלגות פואסון +

רעש הקיראה של הגלאי. נפה כי סטיית התקן של הסיג널 הנ"ל (חסמן ב- σ_e) ניתן ע"י

$$\sigma_e = \sqrt{\sigma_{pe}^2 + \sigma_{ron}^2}, \text{ כאשר סימני את סטיית התקן במספר הפוטואלקטרונים ב- } \sigma_p, \text{ ואת רעש הקיראה}$$

ב- σ_{ron} . כל סטיות התקן הנ"ל נתנות ביחידות של מספר אלקטرونים.

עבור כל אחת מתמונות ה Flat-field, אנו יכולים למדוד באופן ישיר את הערך הממוצע של פיקסל

(\bar{S}_{PV}), ביחידות ADUs. המספר הכללי של הפוטואלקטרונים הנמדדים (\bar{S}_e), פרופורציוני ל \bar{S}_{PV} .

נגיד את קבוע הפרופורציה באום g , קבוע זה הוא בדיק יחס ההמרה:

$$\text{שווה ל- } \bar{S}_e = g \cdot \bar{S}_{PV}, \text{ וכן}$$

פרמטר בר מדידה נוספת סטיית התקן של ערך פיקסל ממוצע בתמונה Flat-field (חסמן כ- σ_{PV}).

למרות שתמונה ה- Flat-field לא אחידות ע"י החסרת שתי תמונות Flat-field שנלקחו תחת תנאים

זהים לחלוטין ניתן לבטל את מרבית החוסר אחדות, ובכך לקבל את ריבוע סכום הרעשים השונים (כפי

שפרטתי לעיל). הרעש הנמדד ביחידות של אלקטرونים מוכפל בפקטור סקלה שהוא למעשה מעשה יחס ההמרה

$$\text{אותו אנו מחפשים } \sigma_e = g \cdot \sigma_{PV}.$$

יש לשים לב כי השונות הנמדדת ע"י החסרת שתי תמונות ה- Flat-field, היא פעמיים השונות של Flat-

field היחיד, ומכאן שיש לחלק את השונות הנמדדת בפקטור 2.

$$\text{כפי שציינתי לעיל- } \sigma_e = \sqrt{\sigma_{pe}^2 + \sigma_{ron}^2}, \text{ וכך גם שמשווה זו את השוויוניות הרלוונטיים}$$

$$\text{לעיל ונקבל } \sigma_{PV}^2 = g^2 \cdot \sigma_{PV}^2 + \sigma_{ron}^2, \text{ וכך בסה"כ-}$$

$$\sigma_{PV}^2 = \frac{1}{g} \bar{S}_{PV} + \frac{1}{g^2} \sigma_{ron}^2$$

ניתן לראות כי σ_{pv}^2 תלוי ב- \bar{S}_{PV} באופן ליניארי, וכן שני העריכים הנו"ל ברι מדידה באופן ישיר (כפי

שציינתי לעיל), ומכאן ש"י בניית גרפ σ_{pv}^2 כפונקציה של \bar{S}_{PV} נוכל להסיק מהו פקטורי ההמרה (פקטור

המרה יהיה פשוט הערך הפופולרי של שיפוע גרפ זה), כמו כן נוכל לקבל את רעש הקריאה ביחידות של

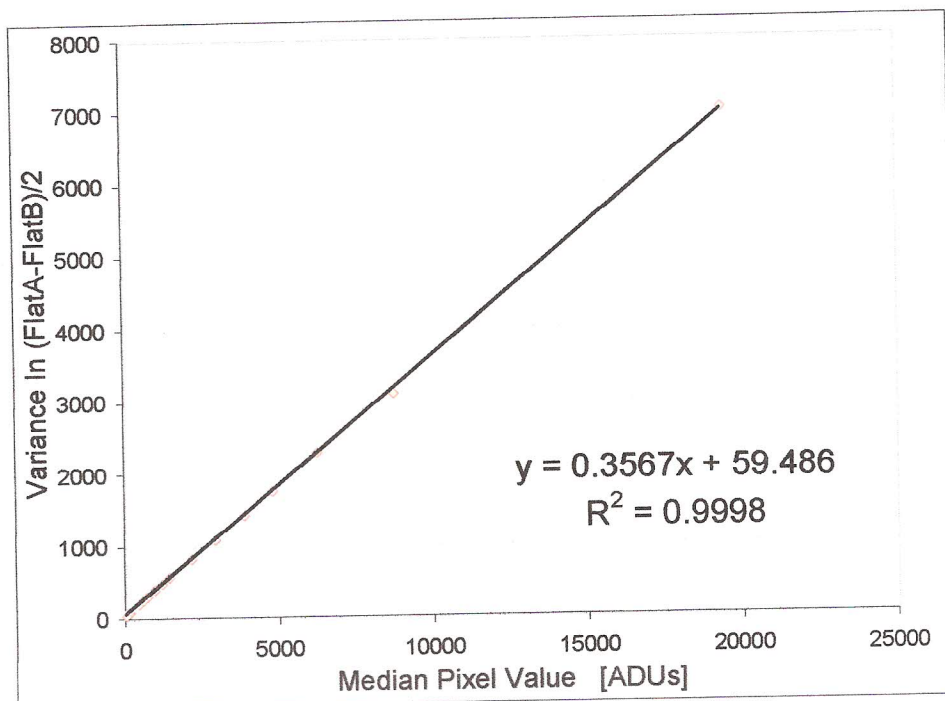
$$. (\sigma_{ron} = g \cdot \sqrt{b} < b = \frac{1}{g^2} \sigma_{ron}^2) \text{ מקבוע של המשווה ADUs}$$

תוצאות-

uboR1 CCD1

Flat Set	Integration (sec)	Median PV [ADUs]	Mean PV [ADUs]	StD(-) [ADUs]	Variance [ADUs^2]	Count Rate [ADUs/sec]
Flat03	3.0	121	121	19.76	97.6144	40.33
Flat09	9.0	404	403	29.04	210.8304	44.78
Flat15	15.0	690	686	35.52	315.4176	45.73
Flat25	25.0	1183	1177	44.36	491.9524	47.08
Flat45	45.0	2142	2129	57.63	830.3042	47.31
Flat80	80.0	3856	3831	75.67	1431.4872	47.89
Flat60	60.0	2910	2899	66.31	1099.2540	48.32
Flat30	30.0	1413	1414	48.04	576.9604	47.13
Flat20	20.0	948	944	40.40	408.0400	47.20
Flat12	12.0	548	545	32.55	264.8756	45.42
Flat02	2.0	78	78	17.60	77.4400	39.00
FlatP5	0.5	17	18	14.39	51.7680	36.00
Flat100	100.0	4772	4740	83.93	1761.0612	47.40
Flat130	130.0	6224	6182	95.73	2291.0582	47.55
Flat180	180.0	8725	8666	111.30	3096.9225	48.14
Flat400	400.0	19405	19272	167.44	7009.0384	48.18

יעקום הענות המתכבל -(CCD1)



אנו קיבלנו התאמה מעוללה לקו ישר (מקדמ קורלציה 0.9998, קרוי התאמה כמעט אידיאלית לישר!).

הופכי של השיפוע שווה למקדם ההמרה והוא (e^-/ADU) 2.803, התאמה שגיאות סטטיסטיות (עם

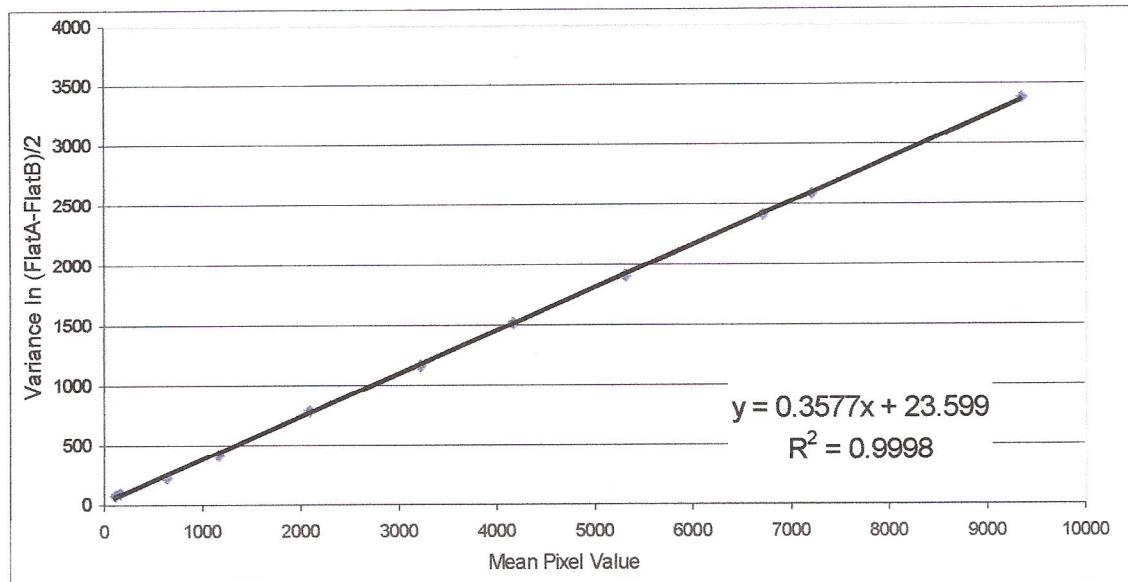
(MATLAB) מניבה כי ה confidence bounds (מעברו השיפוע) שיתנו סטיית תקן אחת הם (0.3556,

$$\frac{\Delta \text{confidence bounds}/2}{(1/2.803)^2} = 0.01(e^-/\text{ADU}) (0.3578)$$

כלומר מקבלים שמקדם ההמרה הוא (e^-/ADU) 2.803 ± 0.010 (e^-/ADU שגיאה יחסית של 0.36% בלבד).

מעבר CCD2 - (מספר סיורי 040500363)

Flat Set	Integration (sec)	Median PV [ADUs]	Mean PV [ADUs]	StD [ADUs]	Variance [ADUs ²]	Count Rate
Flat03	3.0	158	157	20	100.0000	52.3333
Flat10	10.0	631	628	30.26	228.9169	62.8000
Flat40	40.0	2085	2066	56.06	785.6809	51.6500
Flat80	80.0	4161	4161	77.85	1515.1556	52.0125
Flat60	60.0	3220	3192	68.21	1163.1510	53.2000
Flat20	20.0	1157	1150	40.9	418.2025	57.5000
Flat02	2.0	106	105	17.96	80.6404	52.5000
Flat100	100.0	5304	5254	87.34	1907.0689	52.5400
Flat130	130.0	6709	6639	98.37	2419.1642	51.0692
Flat140	140.0	7207	7131	101.83	2592.3372	50.9357
Flat180	180.0	9350	9249	116.41	3387.8220	51.3833



גם כאן התאמה מעוללה לישר (מקדמ קורלצייה 0.9998
מקדמ ההמרה שווה (e-/ADU) 2.7956, confidence bounds הם (0.3633, 0.3598), השגיאה

$$\text{בערך מקדם ההמרה שווה ל } \frac{\Delta\text{confidence bounds}/2}{(1/2.7956)^2} = 0.014(\text{e-}/\text{ADU})$$

כלומר מקבלים שמקדמ ההמרה הוא 2.796 ± 0.014 ($\text{e-}/\text{ADU}$) (שגיאה יחסית של 0.5% בלבד)

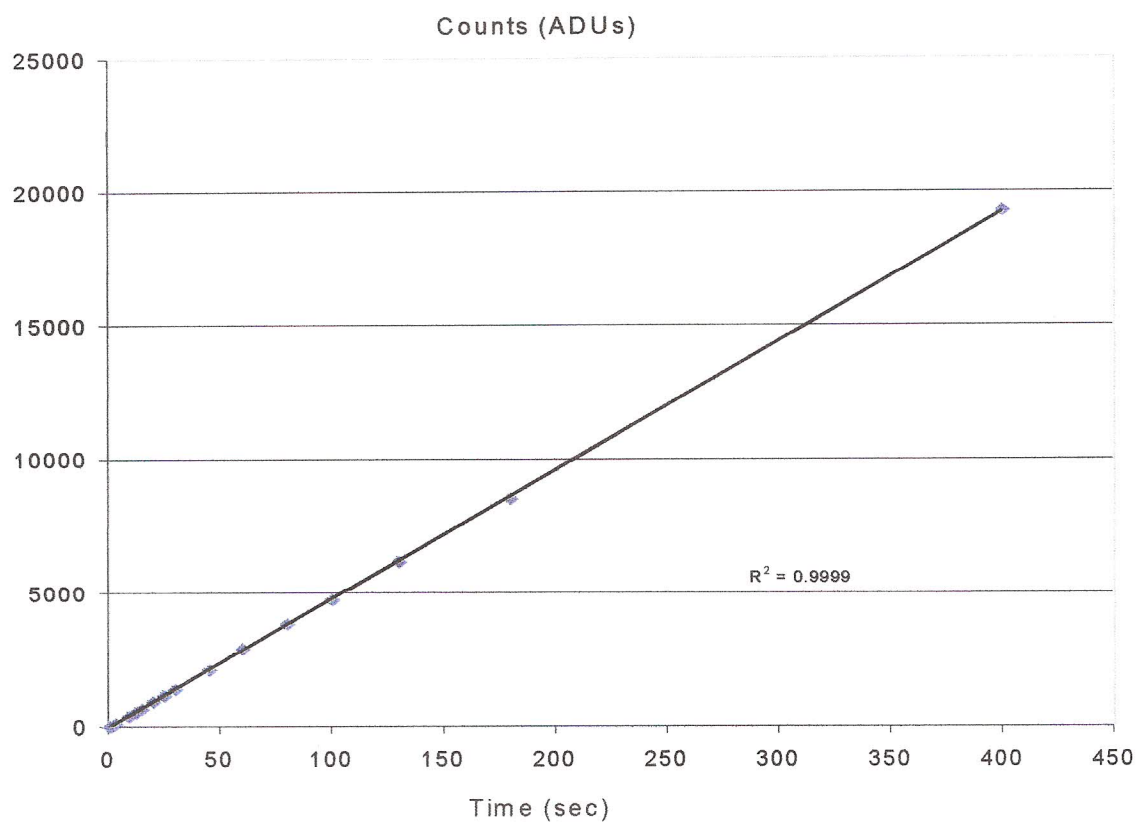
בשני המקרים מקדם ההמרה שונה במקצת מזה הנתון ע"י היצרן (עבור הדגם בו אנו משתמשים, היצרן טוען כי מקדם ההמרה הינו 2.3, יש הבדל של כ-20% ביחס לתוצאות האמפיריות, מאחר ונחותו היצרן לא כוללים שגיאת מדידה או חומר ערכים אפשרי, וכן בהתחשב בעובדה כי ההתאמות הליניאריות הניבו יחס בתאמה גבוה במיוחד עם שגיאות יחסית קטנות ביותר, אני מניחה כי ניתן להסתמך על התוצאות שהתקבלו).

ליניאריות הגלאים

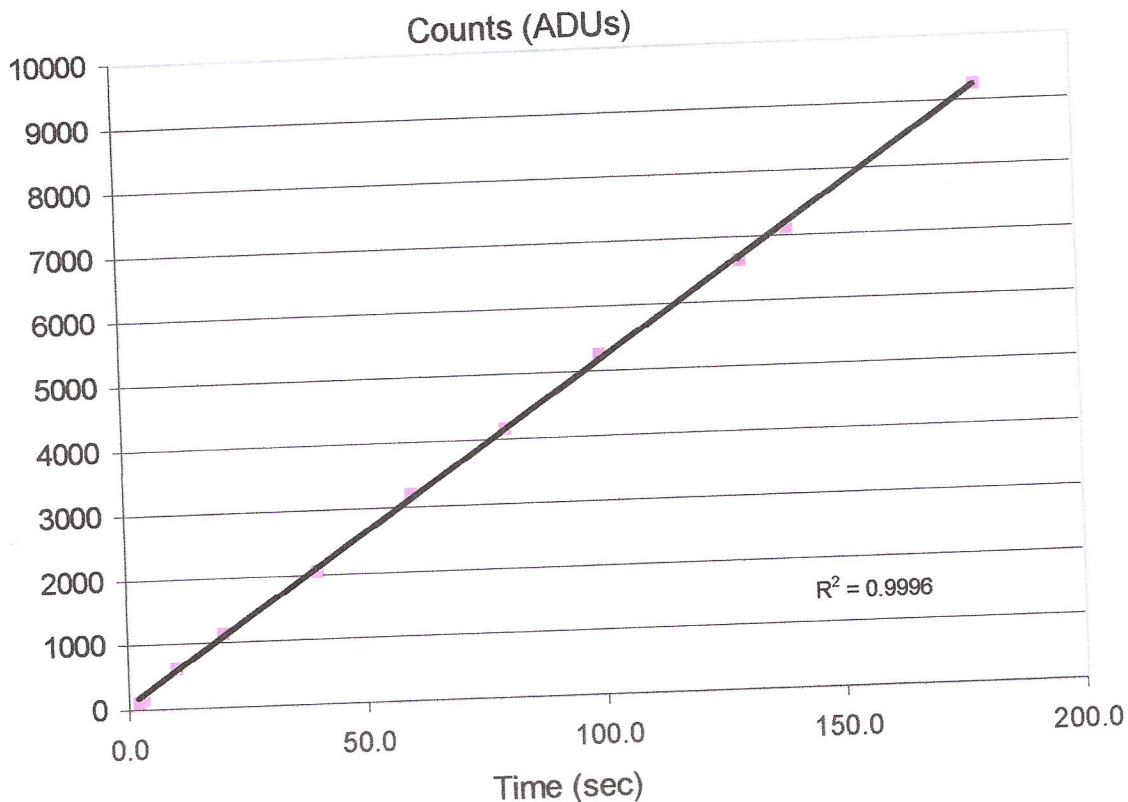
את ליניאריות ה CCD ניתן לבדוק ע"י השוואת הקצב בו ערך פיקסל גדול בזמן חשיפה שונים. עבור גלאי בעל ליניאריות גבוהה הקצב הנ"ל קבוע עבור כל זמן החשיפה.

מציג את ערך הפיקסל הממוצע כפונקציה של זמן החשיפה ונקווה לקבל גרפף ליניארי. נשים לב שמאחר ועבור زمنי חשיפה ארוכים ערכי הפיקסלים יהיו ברווחה יש להתעלם מאזור זה, כמו כן עבור זמני חשיפה קצרים מאוד יש גם כן בעיתיות ולכן גם מהערכים אלו (למשל חצי שנייה) נדרש להתעלם. באופן כללי במידה ולא מקבלים גרפף ליניארי זה עלול לובוע מייחדות בעוצמת ההארה של LED של המערכת ששנשנה לצורך אפיון הgalאים, ולא מהgalאים שלנו עצם. במידה וזה המצב, לא קשה להבחין בכך שכן כוכור חילקי את הסט ל-2 קבוצות שנלקחו בזו אחר זו, וכך אם יהיו הבדלים שיטתיים בין תמונות של زمنי אינטגרציה קרובים שנלקחו מקבוצות שונות, נדע כי החוסר ליניאריות לא נובע רק מחוסר ליניאריות galאים אלא נובע בעיקר מה-LED שאינו מתאים לצורכנו, ויש להחליפו. **תוצאות** (הגרפים הם עם שגיאות המדידה, אולם השגיאות קטנות יחסית ולכן קשה להבחין בהן).

CCD1 Linearity Curve



CCD2 (040500363) Linearity Curve



ניתן לראות כי בקירוב טוב שני הгалאים אכן ליניאריים, יחס ההתאמה בשני המקרים שואף ל-1. זמני החשיפה הנוכחיים מ כדי להגיע לרוויה עבורו הצמצם בו השימושתי, ולכן לא היה צורך להוניה נקודות. ראוי לציין שעבור זמני חשיפה קטנים ההתאמה לישר פחות טובה (בפרט ב-CCD2), אולם מאוחר והערכיהם המתקבלים או קטנים יחסית, שגיאת המדרגה היחסית גבוהה יותר.

קביעת זרם החושך

קירור הgalaxy משפיע באופן דרמטי על זרם החושך. על מנת לקבוע את זרם החושך נtabונן בתמונות ה-dark שלקחנו קודם (DARK001, DARK002, DARK003) נחסר את תמונה ה-Bias מהם ונמצא את החזין של שלושת התמונות. על מנת לקבל את זרם החושך עבור כל פיקסל, יש להכפיל ערך כל פיקסל בתמונה (шибיחות ADUs) בפקטור ההמרה שמצאנו קודם, ואז לחלק בזמן האינטגרציה (ביחידה של שניות).

- תוצאות-

(3) חסיפות של 100 שניות כל אחת, בטמפרטורה של 10 – מעלות צלזיוס, הנתונים לאחר החסרת Bias

CCD1

Mean [ADUs]	Median [ADUs]	Current [ADUs/100sec]	Std [ADUs]
46	5	0.05	307.35
46	5	0.05	308.74
46	6	0.06	309.74

CCD2

Mean [ADUs]	Median [ADUs]	Current [ADUs/100sec]	Std [ADUs]
22	8	0.08	245.50
21	8	0.08	251.11
21	7	0.07	245.97

יש שוני משמעותי בין הערך הממוצע של פיקסל בשני הgalais, ככל הנראה יש יותר פיקסלים חמים בgalai הראשון, ככל מקרה הידועה הרלוונטי לנו עברו זרם החושך היא החזיון, גם כאן יש הבדל בין שני הgalais אך ההבדל קטן אם מתחשבים בכך שיש המשנה הוא במגמת הפהכה (מעבר galai הראשון גדול יותר).

בטמף של אפס מעלות צלזיות

מעבר galai הראשון -

Mean [ADUs]	Median [ADUs]	Current [ADUs/100sec]	Current [e-/pixel/sec]
71	33	0.33	0.925

מעבר galai השני -

Mean [ADUs]	Median [ADUs]	Current [ADUs/100sec]	Current [e-/pixel/sec]
63	35	0.35	0.978

בטמף אפס מעלות, ולאחר המשנה (עם מקדמי המשנה שנמצאו אמפירית!) יש הבדל של כ-6% בין שני

galais אולם שניהם קרובים לערך הנתון ע"י היצרן (ע"פ היצרן בטמף אפס זרם החושך הוא כמעט

אחד לפיקסל לשנייה, מעבר שני galais קיבלנו ערך שקטן במעט מערך זה). ביחסוב זה משתמשים על

מקדמי המשנה שהושבו קודם, כאמור הם שונים במעט מהערך הנתון ע"י היצרן, במידה ומחשבים את

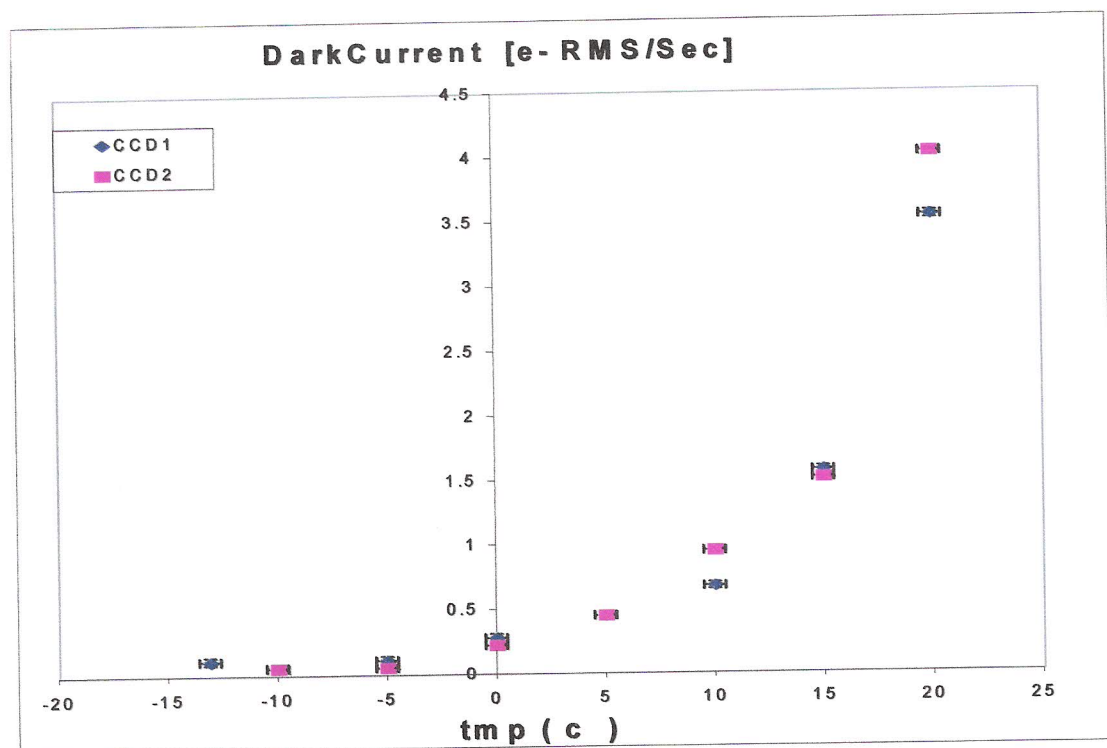
זרם החושך באמצעות פקטורי המשנה הנתון ע"י היצרן, הערכים הם 0.759 e-/pixel/sec

ו $0.805 \text{ e-/pixel/sec}$ עבר הgalai הראשון והשני בהתחילה. ההבדל כמשמעותם בפקטור ההמרה הלא אמפירי הוא ממשועורי יותר מאשר נתונים מדפי ייצור, אולם שוב הערכאים קטנים מהערכאים שנינו ע"י היצור, ולכן בשני המקרים ועבור שני הgalais ניתנו בהחלט לומר כי הערכה של היצור לגבי זרם החושך היא חסם עליון.

תלות הרעש חזק בטמף'

מאפיין זה בהחלט רלוונטי לנו, לאחר ונדרש לקבוע את הטמף בה יעוז הgalai, ככל שנקשר לטמף' נמוכה יותר כך יתבצע הספק גבוהה יותר, אולם נקבע רעש חזק נמוך יותר, וכך נרצה למצוא את הטמף' האופטימאלית.

- תוצאות-

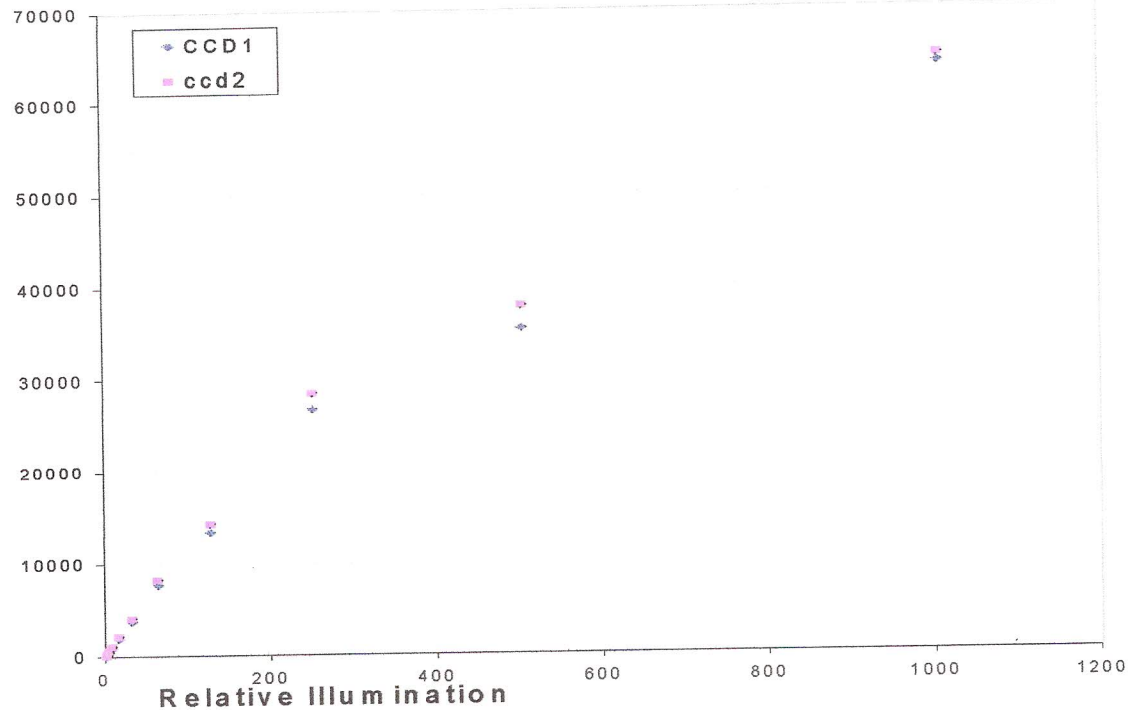


אכן קיבלנו עקומות אופייניות, ניתן לראות כי יש שינוי קל בין שני הgalais, כמו כן ניתן לראות כי השיפוע של העקומות קטן עם הקטנת הטמף, ולכן מתחת לטמף של 0°C (או $0^{\circ}\text{C} \pm$ תלוי ברף הנקבע) אין טעם בקיורו נוספת.

בדיקות הליינאריות בעוצמת האור (ויחסות האור ע"י שימוש ב Aperture שונים) - זמן חשיפה 150 Sec

Aperture	Relative Illumination	Median CCD1 [ADUs]	Median CCD2 [ADUs]
1	1008.063	63848	64719
2	504.0313	35384	37823
3	252.0156	26734	28512
4	128	13441	14362
5	64	7709	8265
6	32	3747	4091
7	16	1946	2170
8	8	911	1075
9	4	456	593
10	2	192	301
11	1	60	142

Median [ADUs]



מבחינה תיאורטית מצפים לגרף ליניארי בתחום ערכיו הפעולה של הgalaxy ומעבר לערך מסוים מצפים שהgalaxy יכנס לדרויה. קיבלנו אכן תחום ליניארי אולם צורת הגרף בערכיהם גבויים שונה ממעט מהמצופה, בפרט עבור הנקודה הלפני אחרונה בגרף, עבורה ניתן היה לצפות שנקבל ערך גובה יותר. לאחר ושמי הгалאים הראו אותה מגמה, ומאותר ולפי בדיקה שלי של ה-Aperture הם אכן עם אותו שטח שבית המלוכה טען שהם (ובפרט ה-Aperture הראשון והשני אשר לפי הגרף נדמה שעבור אחד מהם יש טעות), אני מניחת שהבעיה היא עם המבנה בו עשית את האפינון אשר נראה לא מתאים לעוצמות או גבויות או שהבעיה היא שצורת המפתח של הצלמים השונים לא זהה (2 עיגולים/עיגול אחד גדול).

הנדסת המערכת - רכיבים עיקריים

- הgelai בו נשתמש למערכת שלנו (ומאפייניו הרלוונטיים לנו)-

הgelai הוא גלאי מדגם STL-6303E מחברת SBIG.

מידיו החיצוניים הם 16.5 X 15.5 X 8.9 cm

מספר הפיקסלים (גודל המטריצה) - 3060 X 2040 pixels

גודל פיקסל בודד - 9 X 9 microns

مكان שగול המטריצה במ"מ הוא - 27.5 X 18.4 mm

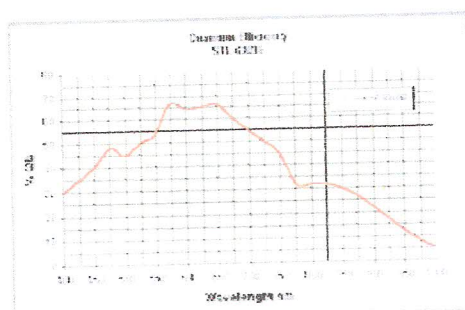
מאפיין ה CCD לפי נתוני היצרן -

$$\text{זרם חושך בטמפרטורה } 0^{\circ}\text{C} = 1 \frac{e^-}{pixel \cdot sec}$$

רעש קריאה - $15 e^- RMS$

יחס ההמרה - $2.3e^- / ADU$

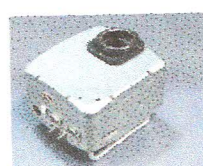
לglasai הנ"ל ייעילות קוונטית גבוהה מאוד, הייעילות כפונקציה של אורך הגל נתונה בגרף הבא -



(הграф הוא נתונים היצרן עבור הדגם הספציפי בו אנו משתמשים).

הסביר: עבור פוטונים עם אורך גל של 600nm (למשל), הייעילות הקוונטית היא של 65%, לעומת רק 35% מהפוטונים המגיעים לגלאי "נאבדים" ולא מומרים לזרם אלקטרוני נדרש. הייעילות הנ"ל נחשבת לגובה מאוד.

בתמונה הצליף עצמו, חמונה של אריזת ה CCD, ותמונה של תכולת האזוזה, בהתאם





• דגם העדשה בה השתמש -

העדשה בה נשתמש היא מודם Nikkor fisheye של חברת Nikon, מאפיינים:

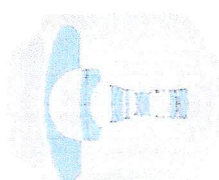
זווית תמונה של 180° , מרחק פוקלי גדול במיוחד של 10.5mm

פתח צמצם (Aperture) מקסימלי f/2.8

הפוקוס האחורי הוא במרחק 46.67mm

מרחק צילום מינימלי - כ 140mm

העדשה בנויה מעשר עדשות (מפזרות ומרכזות) שמחולקות לשבע קבוצות, כפי שניתן להרות בתמונה הבאה:



הזכוכית היא מסוג ED (Extra-Low Dispersion) – קלומר עם דיספרסיה נמוכה מאוד ולכך אברציות קרומטיות מינימליות.



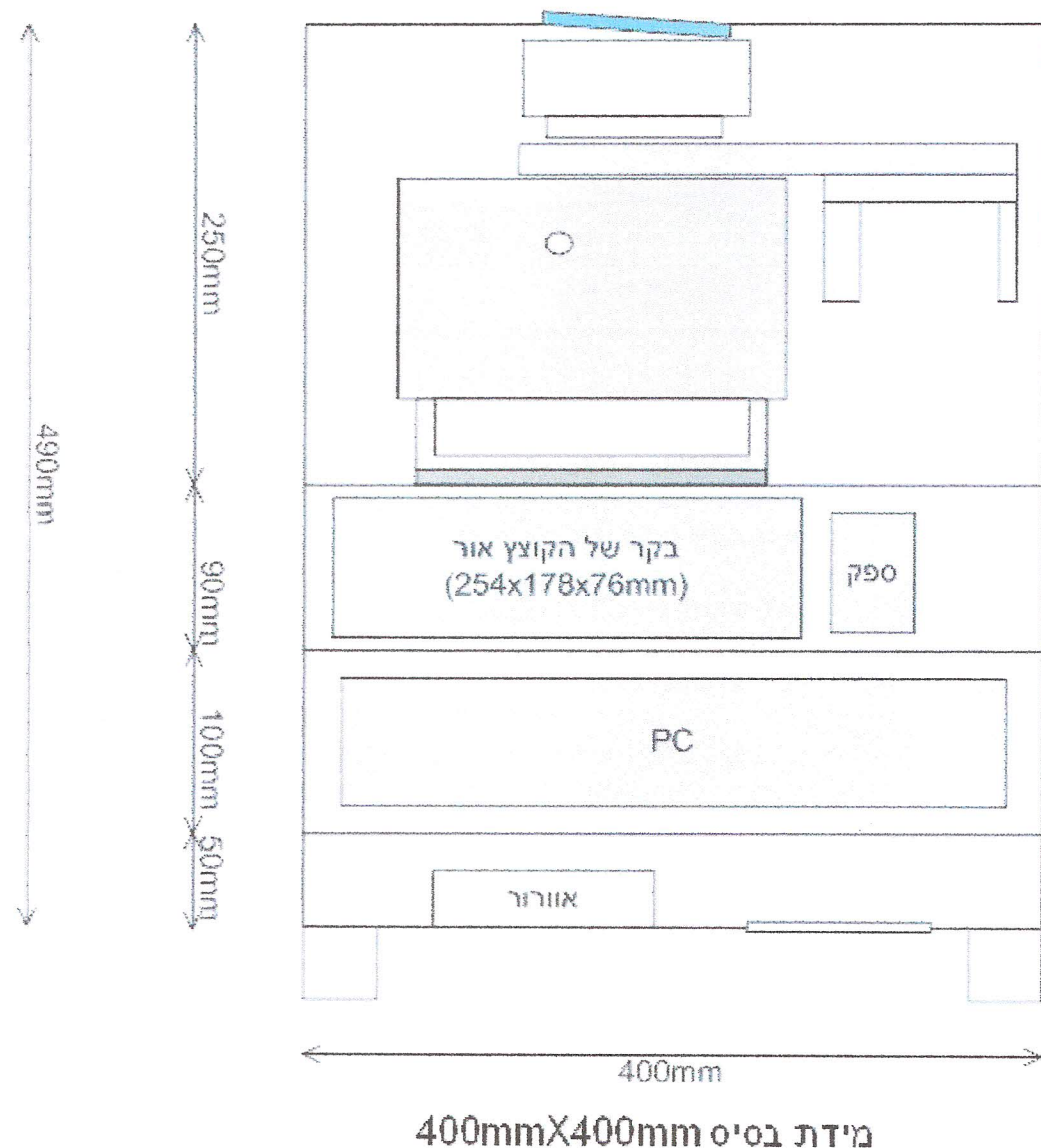
(בתמונה לעיל - העדשה בה נשתמש)

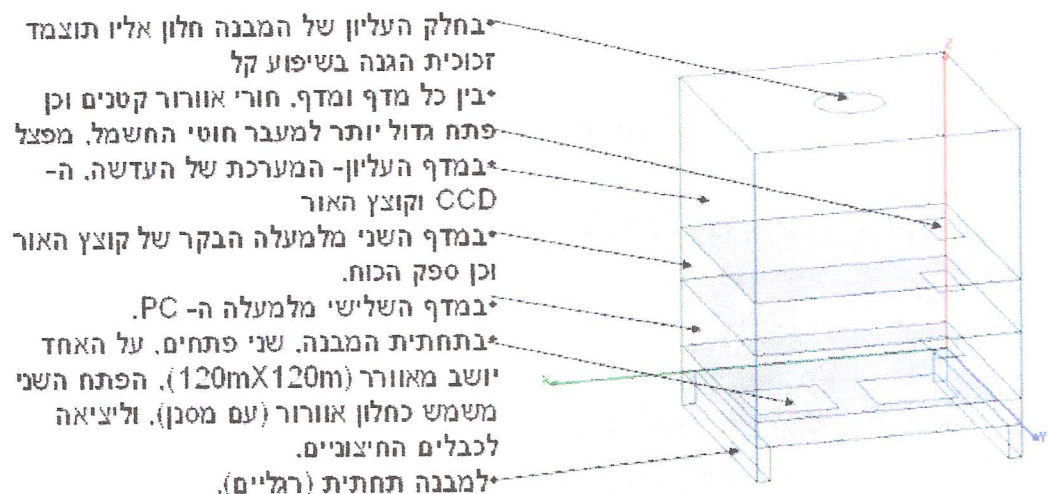
קוץץ אור - ראה מידע בנספחים.

הבדנת מערכת - תכון המארץ

התכוון שעשית כי שהוא הוגש לבית המלאכה הוא כדלקמן:

תרשים א':





תרשים א' נעשה באמצעות התוכנה (Microsoft Visio 2003), תרשימים ב' הוא אותו מבנה רק בתלת מימד, נעשה עם התוכנה (Ansoft HFSS V9), שני התרשימים הם תוך דגש על מידדים מדוקים.

בקומה העליונה של המארז העדשה, קוץץ האור וה- CCD (בהתאמה).

בקומה השנייה (מלמעלה) הבקר של קוץץ האור וכן ספק הכוחות.

בקומה השלישית המחשב, ובקומה המתחנונה מהאור ופתח נוסף עם מסנן.

המטרה הייתה לשמר על קומפקטיות, שכן המערכת, על אף שמקומה הקבוע הוא מצפה רמון נדרש להיות עם יכולות שימוש (מטרה זו נלקחה בחשבון גם בעת בחירת הרכיבים, נדרש שהיו קלים ובמידים קטנים ככל האפשר).

כדי שיגיע אור אל העדשה, על גג המארז ישנו מפתח שעליו חלון זכוכית דק. מפתח זה אמור לאפשר הגעת אור למערכת, ותפקיד הזכוכית למנוע כניסה של גרגירי חול/טיפות מים או כל הפרעה אחרת לתוך המערכת. החלון זכוכית יורכב בשיפוע קל על מנת למנוע הצטברות של אבק.

שטח החלון גדול בהרבה ממפתח העדשה, על מנת לא לפגום בשדה הראייה שלה. מעל אותו חלון, תורכב כיפה שקופה, על מנת לתת הגנה נוספת מפני התנאים המדוריים בהם נמצא המערכת.

בין קומה לקומת קומת, מלבד פתחים עבור הקבלים החשמליים, יהיו גם חרירים קטנים למען אוורור המערכת.

הסירקולציה של האוויר היא ע"י שני פתחים, האחד עם מאורר והשני עם מסנן (על מנת שלא יכנס חול וכו'), הפתחים הנ"ל הם בתחום המערכת, על מנת למנוע כניסה מים לתוכן המבנה.

מאوهاה סיבה בדיק גם כל החיבורים לעולם החיצוני (חשמל, חיבור לרשת) יעשו גם הם דרךفتح בתחום המערכת.

גם לאחר סגירת המארז, תהיה אפשרות לפתוחו אותו על מנת לעשות כוונונים נוספים גם בעתיד (מרחב עדשה מהגלי, מיקומה, מהירות קוץץ אור וכו').

בפרויקט לוחתי חלק בלויי פרויקט 4 CONCAM, באפיון הgalais שישמשו את זוג המצלמות, ובהנדסת המערכת.

המארזים היום עדין בבנייה בבית המלאכה של בית הספר לפיסיקה, והם עתידיים להיות מוכנים בשבועות הקרובים. כאשר המערכת תהיה מוכנת, אחת המצלמות תמוקם במצפה וויז שבמצפה רמון והשנייה באתר נוסף בצפון הארץ, והן יעברו ציול ולאחר מכן יחליפו את המערכת הקיימת היום (CONCAM 3 - מצלמה בודדת).

מסקנות מאפיון הgalais:

יחס המרה שהתקבל הם $(e^-/ADU) = 2.803 \pm 0.014$ עבור הgalai הראשון והשני בהתאם. שגיאות המדידה היו פחות ממחצית אחוזו ומרקמי הקורלציה היו גבוהים במיוחד דבר המרמז על דיוק רב בתוצאות, אף השני (כ-20%) ביחס לערך מדפי יצزان. לגבי רעש קריאה - עבור הgalai הראשון קיבלנו רעש קריאה גבוהה במקצת מאשר בגלאי השני, השני הופך לשמעותי פחות עם קירור הgalai, ועבור טמפרטורת הקטנה מ於是 מעלות סגוליות אין כמעט הבדל. עבור שני הgalais קיבלנו ערכיהם גבוהים במקצת מהערך הנתון ע"י יצزان, אולם בשני המקרים ההבדל היה פחות מ 0.8 סטיות תקן. זרם חושך - קיבלנו כי עבור הgalai הראשון זרם החושך קטן כמעט לא אשר בשני, ושניהם קטנים מהערך המסופק ע"י יצزان. קיבלנו כי עבור עצמות האלה נמוכות הgalais בקירוב טוב לניארויים, כמו כן ישנה לניארויות בעוצמה כפונקציה של זמן החשיפה.

רשימת מקורות -

[1] אתר הפרויקט של מצפה הכוכבים של האוניברסיטה-
<http://wise-obs.tau.ac.il/projects>

[2] אתר פרויקט CONCAM
<http://nightskylive.net>

Analysis of Meteor Trails Using the Night Sky Live Network of Panoramic CCD [3]
ליאור שמיר, 2005 אוניברסיטת MTU, מישיגן ארה"ב, Cameras

[4] מאמר על מטאורים
<http://www.liverpoolmuseums.org.uk/wml/spaceandtime/planetarium/solar-system/meteors.asp>

[5] על מטאורים והשימוש בקורס אור (האתר של פרופ' סליגמן, אוניברסיטת קליפורניה ארה"ב)
<http://cseligman.com/text/meteors/meteors.htm>

[6] מידע על מטאורים מארגוני NASA
על מטאורים מתוך NASA
<http://liftoff.msfc.nasa.gov/Academy/SPACE/SolarSystem/Meteors/meteors.html>
<http://solarsystem.nasa.gov/planets/profile.cfm?Object=Meteors&Display=Gallery&Page=2>

[6] כיול CCD
<http://www.astrophys-assist.com/educate/noise/noise.htm>

[7] הגדרה של באיס, תמונה חזש וcoil
<http://users.libero.it/mnico/glossary/>

[8] תהליך הריזוקציה
<http://astro.corlan.net/gcx/html/node7.html>

[9] עדשת עין הדג-אתר עם מידע כללי-
<http://www.mir.com.my/rb/photography/hardwares/classics/olympusom1n2/shared/zuko/htmls/fish8mm.htm>

[10] העדשה בה אנו משתמשים-
<http://pano.maandag.com/index.php?id=57>

[11] מאמר על חישוב מהירות מטאורים
<http://www.copernicus.org/EGU/acp/acpd/4/109/acpd-4-109.pdf>

[12] אתר Astronomy Picture of the Day של נאס"ה
<http://antwrp.gsfc.nasa.gov/apod/ap050812.html>

[13] לגבי גלאי CCD- ויקפדייה-ארה"ב
<http://he.wikipedia.org/wiki/CCD>

[14] מידע נוסף על גלאי CCD

<http://spiff.rit.edu/classes/phys445/lectures/ccd1/ccd1.html>

[15] חברת sbig, מידע לגבי הgalais השונים

<http://www.sbig.com/pdffiles/ST-L%20Operating%20Manual.pdf>

http://www.sbig.com/pdffiles/cat_stl.pdf

[16] מידע לגבי קורצץ אור

http://www.scitec.uk.com/optical_chopper/340cd

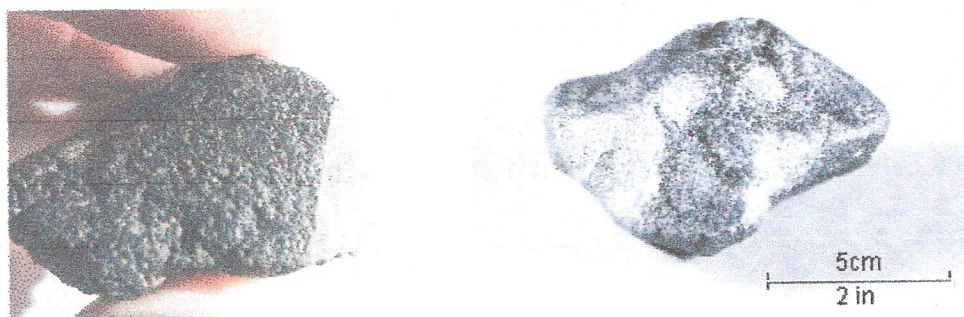
נספחים

מטאורים

כאמור לעיל, אחת המטרות העיקריות למעןו הוחלט להחליף את מערכת CONCAM במערכת אחרת מלאה פרויקט זה היא צילום של מטאורים.

השם מטאור (Meteor) בא מהמילה היוונית meteoron אשר בתרגום חופשי לעברית אומרת "דבר בשםים", מטאורים ידועים גם בשפה הלא מקצועית כ-"כוכבים נופלים".

מטאורואידים (meteoroids) הם גופים מוצקים, הנעים בחלל. הם שאריות של עצמים השיכים למערכת השמש שלנו (למשל מטאורים מכוכב הלכת מאדים) או כוכבי שבית שהתרסקו וגודלם הוא כגרגיר חול או גזול בהרבה (בתמונה 2 דוגמאות למטאורית-שאריות מטאוריך שנמצא על כדור הארץ).



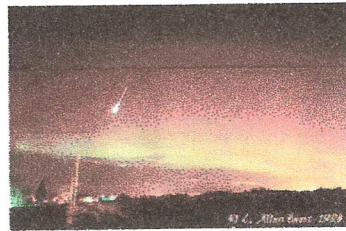
בעת הכנסתה לאטמוספרת כדור-הארץ, מהירות המטאוריך גבוהה מאוד (רבים מהם אף במהירות של 70 ק"מ לשניה!), במהלך מסע זה דורך האטמוספירה, המטאוריך מתנגש עם מולקולות האוויר, דבר היוצר שובל של אטומים מיוננים בנחיב מעבר המטאוריך, כאשר אטומים מיוננים הנותרים תופסים חורה אלקטرون, אור נפלט. וכך המטאוריך משאיר אחריו שובל של אור, זנב זה נקרא מטאור.

ציורים של מטאורים הממחישים את התופעה הנ"ל-



תמונות אמיתיות של מטאורים-

צולם מעל- Northwest Des Moines



מטר מטאוריים (מטר זה נקרא מטר לאונדיים, והוא מתרחש פעמי שנה)



ישנם מטאורידים שמתפרקים בשכבה העליונה של האטמוספירה (בעיקר תלוי בחומר ממנו עשוי המטאוריד), ויש שעוברים את השכבות הראשונות של האטמוספירה, אך בוערים כליל לפני ההגעה לפני כדור הארץ. חלקיים מהמטאוריד אשר לא מתפרק באטמוספירה ונוחתים על כדור הארץ נקראים מטאוריטים (ראה תמונות לעיל).

הארכה היא שבין אלף לעשרה אלפי טון של חומר מטאוריטי נופל על כדור הארץ בכל יום, אולם מרבית החומר הוא בגודל מקרוני, חלקיים אלו כה קטנים שהתגננות האויר להם כה נמוכה שלא נוצרת בעירה והם נוחתים להם בשקט על כדור הארץ.

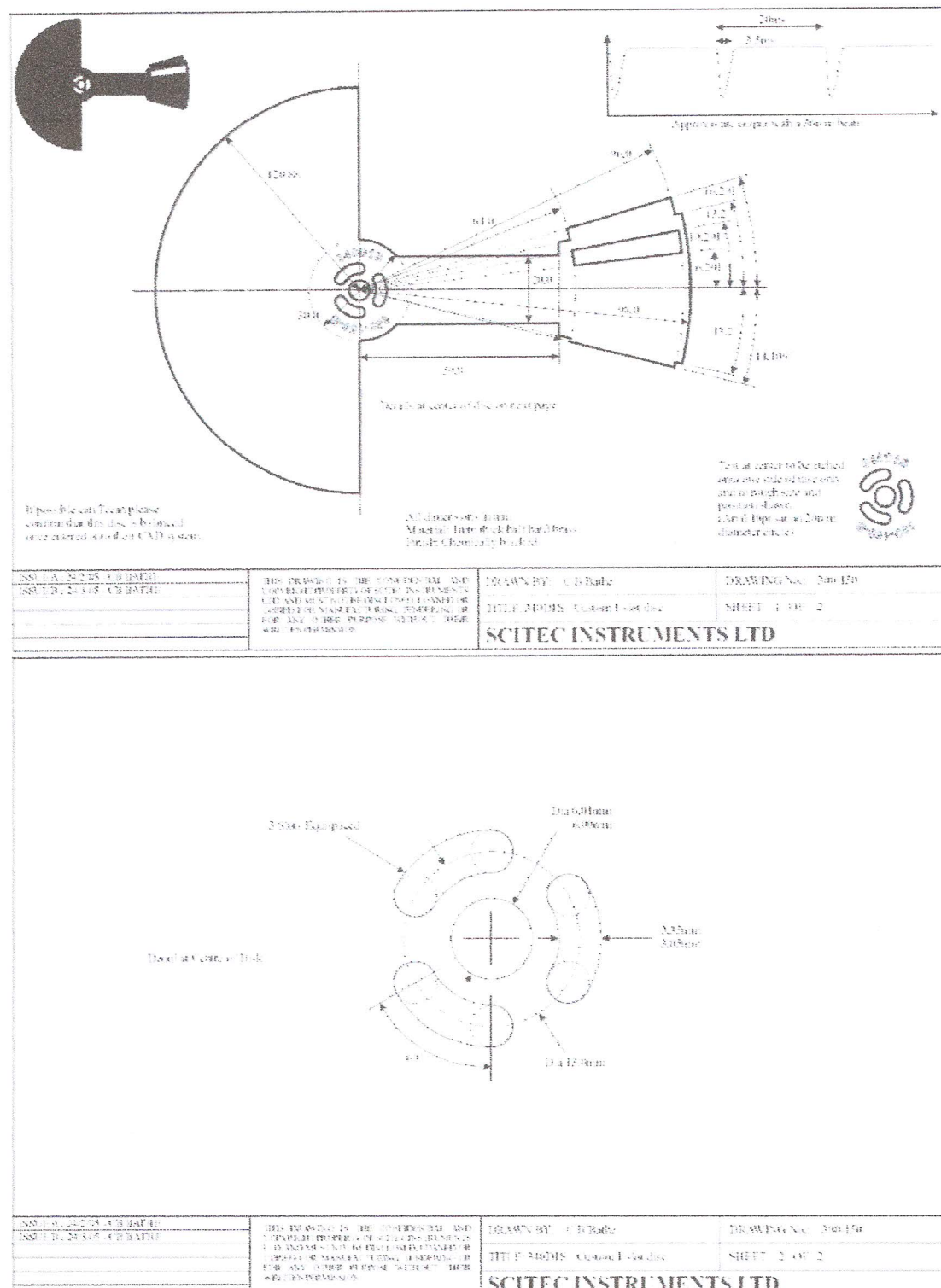
בשעות הלילה ניתן לצפות בספר "כוכבים נופלים" (מטאוריים), לעתים מספר המטאורים הנצפים במקביל רב בהרבה, תופעה זו נקראת "מטר מטאוריים".

תופעה מרהיבת במיוחד היא תופעת ה fireballs, שהם מטאוריים במיוחד, אשר עלולים להיות אף יותר בהירים מכוכבי הלכת של מערכת השמש, ולעתים בהירותם כזו שאף ניתן להבחין בהם באור יום.

Model STL-6303E Typical Specifications																									
CCD SPECIFICATIONS																									
Imaging CCD	Model Enhanced KAF-6303E																								
Pixel Array	3060 x 2040 pixels, 27.5 x 18.4 mm																								
Total Pixels	6 million																								
Pixel Size	9 x 9 microns																								
Full Well Capacity (NABG)	100,000 e-																								
Dark Current	0.1e-pixels/second at 1 degree C																								
Antiblooming	NABG standard, ABG optional																								
READOUT SPECIFICATIONS																									
Shutter	Electromechanical																								
Exposure	0.1 to 3600 seconds, linear resolution																								
Correlated Double Sampling	Yes																								
A/D Converter	16 bit																								
A/D Gain	14-bit A/D unipolar, 2.048-bits/d																								
Read Noise	15.47 eRMS																								
Binning Modes	1x1, 2x2, 3x3																								
Full Frame Download	1-second																								
SYSTEM SPECIFICATIONS																									
Cooling - standard	Two-stage Thermoelectric Wave Absor. -30°C from Ambient Typical																								
Temperature Regulation	+5.0°C																								
Power	10-12VDC, 17WDC nominal, Universal AC or 12VDC de-locked supply																								
Computer Interface	USB 1.1																								
Computer Compatibility	Windows 95/NT/2000/ME/XP/Mac OS-X																								
Guiding	Dual CCD Self-Guiding Standard, Passive Guiding Head Optional																								
PHYSICAL SPECIFICATIONS																									
Dimensions	6.1 in x 5.7 in x 1.5 in (15.5cm x 14.5cm x 3.8cm)																								
Weight	~ 1.5 kg without filters																								
Internal Filter: Caremel	2 pounds for 4-inch threaded cell, or 1 pound unthreaded filter optional																								
Mounting	2 no-sphere required																								
Backfocus	Approximately 1.7 inches (+/- 5 mm) with 2 no-sphere attached																								
KAF-6303E Quantum Efficiency Spectral Response	<p>Quantum Efficiency A.U. 0.0-1.0</p> <p>Wavelength (nm)</p> <table border="1"> <caption>Estimated data points from KAF-6303E Quantum Efficiency Graph</caption> <thead> <tr> <th>Wavelength (nm)</th> <th>Quantum Efficiency (A.U.)</th> </tr> </thead> <tbody> <tr><td>350</td><td>0.05</td></tr> <tr><td>400</td><td>0.15</td></tr> <tr><td>450</td><td>0.35</td></tr> <tr><td>500</td><td>0.65</td></tr> <tr><td>550</td><td>0.85</td></tr> <tr><td>600</td><td>0.75</td></tr> <tr><td>650</td><td>0.55</td></tr> <tr><td>700</td><td>0.35</td></tr> <tr><td>750</td><td>0.25</td></tr> <tr><td>800</td><td>0.15</td></tr> <tr><td>850</td><td>0.05</td></tr> </tbody> </table>	Wavelength (nm)	Quantum Efficiency (A.U.)	350	0.05	400	0.15	450	0.35	500	0.65	550	0.85	600	0.75	650	0.55	700	0.35	750	0.25	800	0.15	850	0.05
Wavelength (nm)	Quantum Efficiency (A.U.)																								
350	0.05																								
400	0.15																								
450	0.35																								
500	0.65																								
550	0.85																								
600	0.75																								
650	0.55																								
700	0.35																								
750	0.25																								
800	0.15																								
850	0.05																								

קורץ אור-

קוץ א/or בו נשתמש הוא מדגם 340CD1S של חברת Scitec instruments המדגם הנ"ל מבוסס על דגם CD 340, ויוצר במיוחד לצורכי הפרויקט הנ"ל.



- The first fisheye lens developed exclusively for use with Nikon DX Format
- Ultra wide picture angle of 180 degrees on DX sensor achieved by producing a smaller image circle (the size of the image that is projected by the lens on to the sensor) enabling smaller lens diameter, lighter weight and optimal image quality from center-to-edge-to-corner on the image.
- Equivalent to 16mm focal length on 35mm
- Minimum focus distance of 0.14m (5.5 in.), or 0.03m (1.2 in.) from the lens front, makes extreme close-ups possible
- Close-Range Correction (CRC) provides high performance for sharper images when taking pictures up close
- Extra-Low Dispersion (ED) glass element minimizes chromatic aberration
- Design enables a combination of wider angle-of-view with optical characteristics that are optimized for Nikon digital SLR camera sensors
- Nikon D-type design provides precise distance information for flash and ambient light exposure processes
- Rounded diaphragm to make out-of-focus elements appear more natural
- G Type DX Nikkor is designed exclusively for use with Nikon Digital SLR models
- Built-in Flower Type lens Hood
- Fully Compatible with D1, D1X, D1H, D2H, D100, and D70

Specifications

Focal Length	10.5mm
Maximum Aperture	f/2.8
Picture Angle (D SLR)	180 degrees
Lens Construction	10 elements in 7 groups
Extra Low Dispersion (ED) Lens	1 ED Element
Minimum Shooting Distance	Approx. 5.5 inches
Max. Reproduction Ratio	1:5
Minimum F stop	22
Aperture Blade	7 elements (Rounded)
Lens Hood	Built-In Flower Type
Filter Size	Rear of lens, Gel filter holder built-in
Case	CL-08715 Soft Case
Diameter x Length	Approx. 2.5x 2.5 inches
Weight	Approx. 10.8 oz.
Includes	CL-0715 Soft Case, lens cover, rear cap

תקציר פרויקט 600

בפרויקט לחתמי חלק בبنית מערכת CONCAM 4 - מערכת שתי מצלמות Whole-Sky מבוססת CCD, לצילום פנורמי וסטריאוסקופי של מטאורים נוספים לתמונה שמיים רגילה. המצלמות כוללות קוץץ אופטי על מנת שנitin יהיה להסיק את המהירות הזרוית של מטאורים עצמים מהירים שנקלטו בתמונה וכן הסקת מידע פיסיקלי רלוונטי נוסף, כמו כן, לאחר ומדובר בשתי מצלמות שימוקמו בשני אזוריים שונים בצפון הארץ וייעברו במקביל, ניתן יהיה להשתמש בשיטת הפלקסיה ולזהות את מקום המטא/or במרחב, לגלה מקום תחילת/סוף עירתו באטמוספירה, גילוי האורך האבסולוטי של מסלול המטא/or בשמיים, ולעתים אף אינדיקציה לגבי המקום בו שאריות המטא/or (meta/oritat) נחטו על פני כהה א-הארץ.

המערכת עתידה לשמש את מצפה וויז, מצפה הכוכבים של אוניברסיטת ת"א במצפה רמון, בין היתר כחלק מהפרויקט הבין-לאומי CONtinuous CAMera (http://nightskylive.net) לתחנות שם עדכניות מקומיות שונות בעולם.

-תקידי בפרויקט-

- ביצוע אפיון של שני גלאי ה-CCD: רעש קריאה כתלות בטמפרטורה, עקומת הענות, מציאת מקדם ההמרה, ליניאריות כתלות בזמן, זרם חושך, ליניאריות כתלות בעוצמת הארה ועוד.
- הנדסת מערכת: תכנון שני המארזים תוך התחשבות בשיקולים שונים.
- ליווי כללי של הפרויקט.

המנחה- ד"ר נוח ברוש, מרצה וחוקר בפקולטה למדעים מדויקים, ומנהל מצפה הכוכבים של אוניברסיטה ת"א (במצפה רמון). טל- 03-6407414, פלאפון- 054-4752912 ,email- noah@wise.tau.ac.il
הסטודנטית- חוה זילקה, ת"ז 039300041, פלאפון- 050-7555025 ,email- havazilk@post.tau.ac.il